

# Diagnostic et Diagnosticabilité

Formation sur les Systèmes à Événements Discrets (SED)

2<sup>e</sup> édition  
Mars 2025  
Nantes



Société d'Automatique,  
de Génie Industriel & de Productique

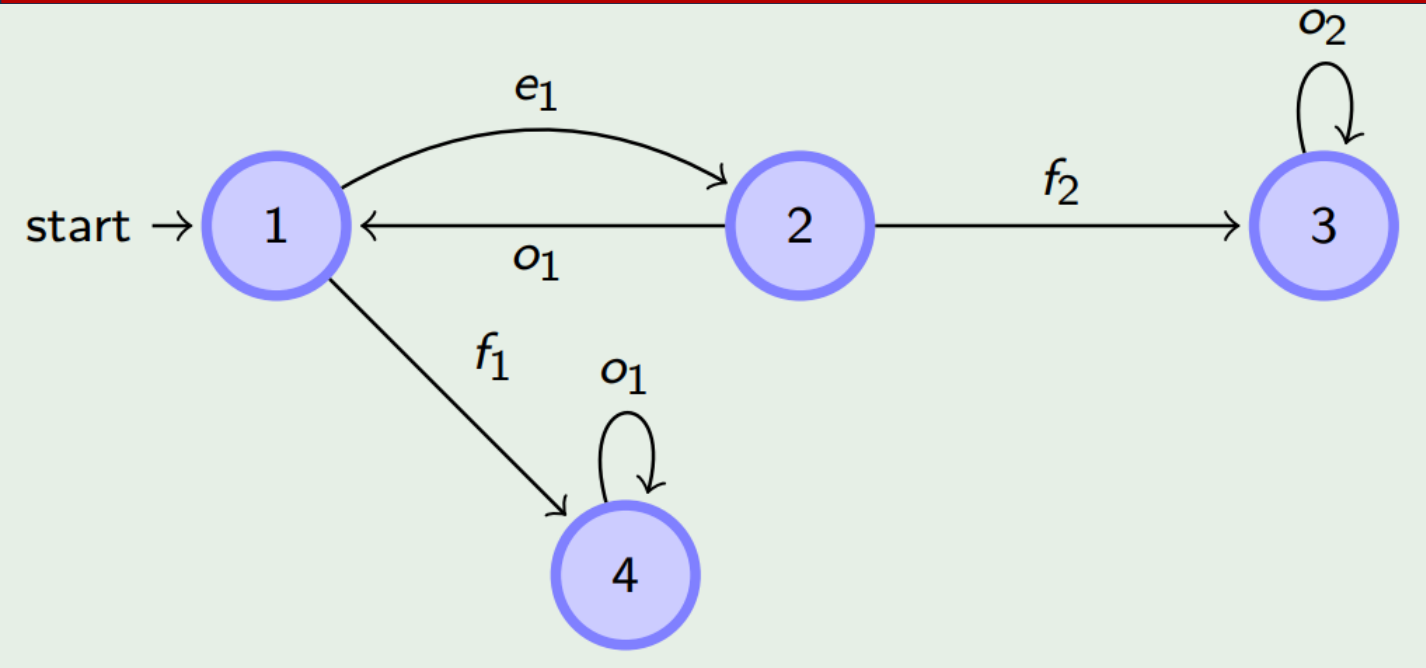


# Introduction

# Diagnostic de systèmes à événements discrets: rappels

- Soit  $G$  le modèle d'un SED
  - $G$ : automates classiques, réseaux de Petri,....
  - $G$  produit des événements **observables** ( $\Sigma_o$ ) et **non-observables** ( $\Sigma_u$ )
$$\Sigma = \Sigma_o \cup \Sigma_u$$
- $G$  peut subir des **défaillances**: événements non-observables
$$f_1, f_2, \dots \in \Sigma_f \subseteq \Sigma_u$$
- $L(G)$  langage des séquences de  $G$ ,  $L_o(G)$  langage observable de  $G$
- Soit  $\sigma \in L_o(G)$ , une **séquence d'observations** de  $G$
- **Diagnostic**: quels sont les événements de  $\Sigma_f$  qui ont pu avoir lieu dans  $G$  si on observe  $\sigma$  sur le système ?

# Diagnostic de systèmes à événements discrets: exemple



- $o_1, o_2$  observables
- $f_1, f_2$  défaillances
- $e_1$  non observable

• Langage  $L(G)$ :

$$(e_1 o_1)^* + e_1 (o_1 e_1)^* + (e_1 o_1)^* f_2 o_2^* + (e_1 o_1)^* f_1 o_1^*$$

• Langage  $Lo(G)$ :

- $o_1^* + o_1^* o_2^*$

- $\sigma_1 = o_1$  Diagnostic:  $f_1$  (ambigu), peut être normal
- $\sigma_2 = o_1 o_1$  Diagnostic:  $f_1$  (ambigu), peut être normal
- $\sigma_3 = o_1 o_1 o_2$  Diagnostic:  $f_2$  (certain)  
(diagnostic sans fermeture silencieuse)

# Du comportement séquentiel au comportement temporel

Supposons un système de type client/serveur web et les deux scénarios suivants:

1. Envoi de la requête  $r$  à la date  $d$ , réception de  $p$  à la date  $d + 1\text{ms}$
2. Envoi de la requête  $r$  à la date  $d$ , réception de  $p$  à la date  $d + 1\text{ an}$

Y'en a-t-il un scénario plus normal que l'autre ?

- Du point de vue séquentiel, on observe  $r$  suivi de  $p$
- Du point de vue temporel, on observe:
  1. Scénario 1:  $(r,d) (p,d+1)$
  2. Scénario 2:  $(r,d) (p,d+31536000000)$

Seul le temps (information quantitative) discrimine les deux scénarios.

Le **temps** est une **dimension observable** (horloge)

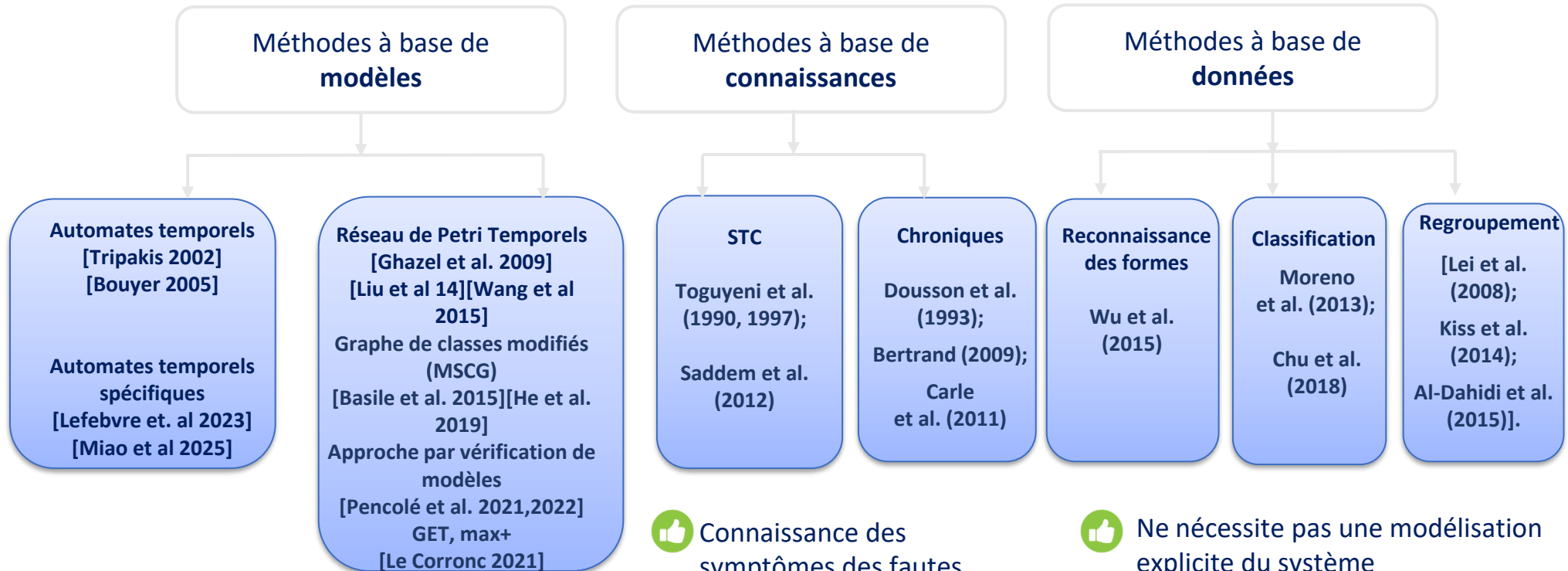
Observations: flux d'événements datés:  $(a,1), (b,3), (a,4)$ ...

Comment utiliser la mesure du temps pour raffiner un diagnostic ?

# Diagnostic de systèmes à événements discrets temporels

- $L(G)$  devient un **langage temporel**:
  - La séquence  $(e1,3) (o1, 5) (e1, 8) (f2, 10) (o2, 24)$  est un mot de  $L(G)$
  - Représentation en dates relatives :  
 $(e1,3), (o1,2), (e1,3)(f2,2)(o2,14)$  ou encore 3 e1. 2 o1. 3 e1. 2 f2. 14 o2
- Le langage observable  $Lo(G)$  devient un **langage temporel**
  - Séquence observée:  $\sigma = (o1,5)(o,24)$
  - En dates relatives:  $(o1,5)(o2,19)$  ou encore 5 o1. 19 o2.
- Diagnostic: quels sont les événements de  $\Sigma_f$  qui ont pu avoir lieu dans  $G$  si on observe  $\sigma$  sur le système ?

# Méthodes de diagnostic des SED temporels et temporisés



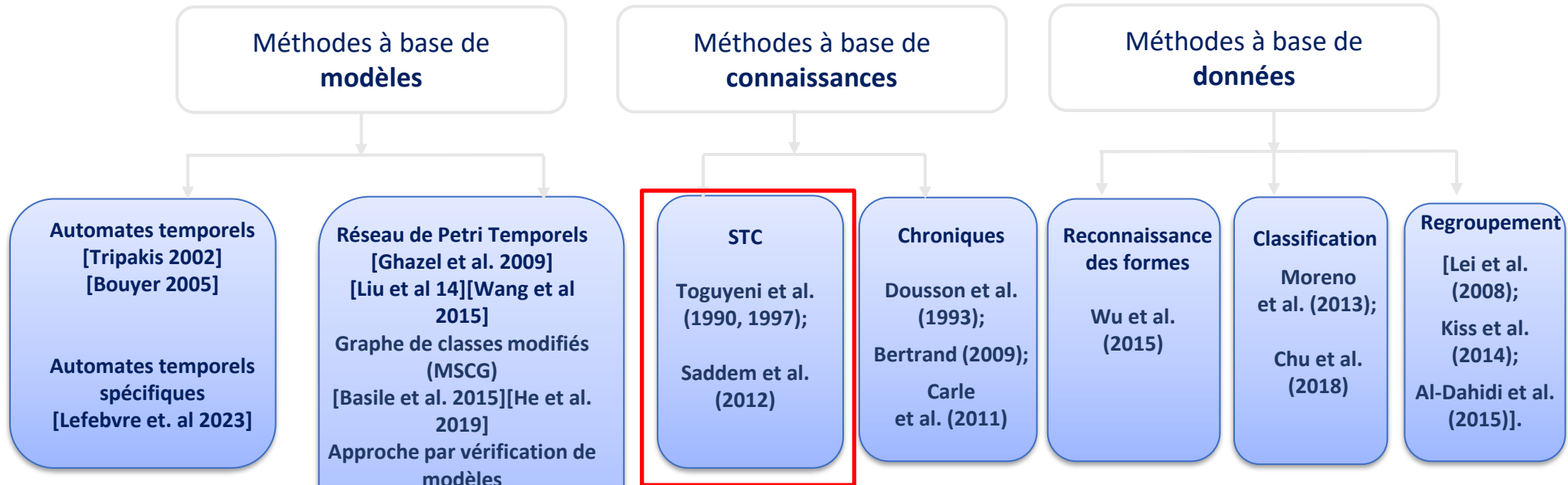
- 👍 La validation de la cohérence et la complétude des défauts à diagnostiquer.
- 👎 Problème d'explosion combinatoire lors de l'implémentation sur des systèmes réels

- 👍 Connaissance des symptômes des fautes qu'elles modélisent
- 👎 L'acquisition des connaissances expertes et de leur mise à jour

- 👍 Ne nécessite pas une modélisation explicite du système
- 👍 Apprendre des expériences
- 👍 Amélioration des performances
- 👎 Une étape de prétraitement des données
- 👎 Une grande quantité de données

# Approche par Signature Temporelle Causale (STC)

# Méthodes de diagnostic des SED temporels et temporisés



La validation de la cohérence et la complétude des défauts à diagnostiquer.



Problème d'explosion combinatoire lors de l'implémentation sur des systèmes réels



Connaissance des symptômes des fautes qu'elles modélisent



L'acquisition des connaissances expertes et de leur mise à jour



Ne nécessite pas une modélisation explicite du système



Apprendre des expériences



Amélioration des performances



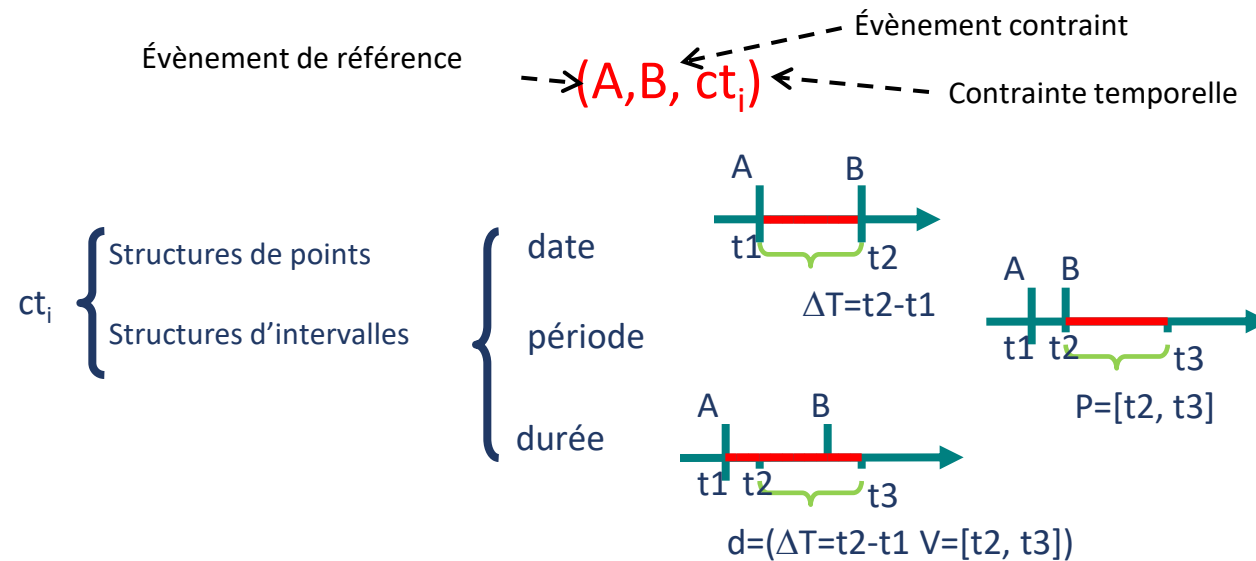
Une étape de prétraitement des données



Une grande quantité de données

# Signatures Temporelles Causales

Une STC est un sous-ensemble d'événements observables partiellement ordonnés qui caractérise un comportement d'un système. Ces événements sont contraints par un ensemble de contraintes temporelles portant sur leurs occurrences.

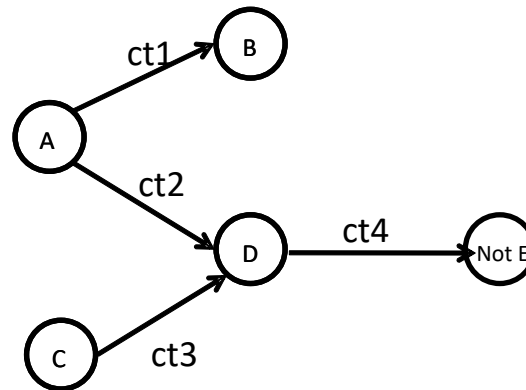


# Signatures Temporelles Causales

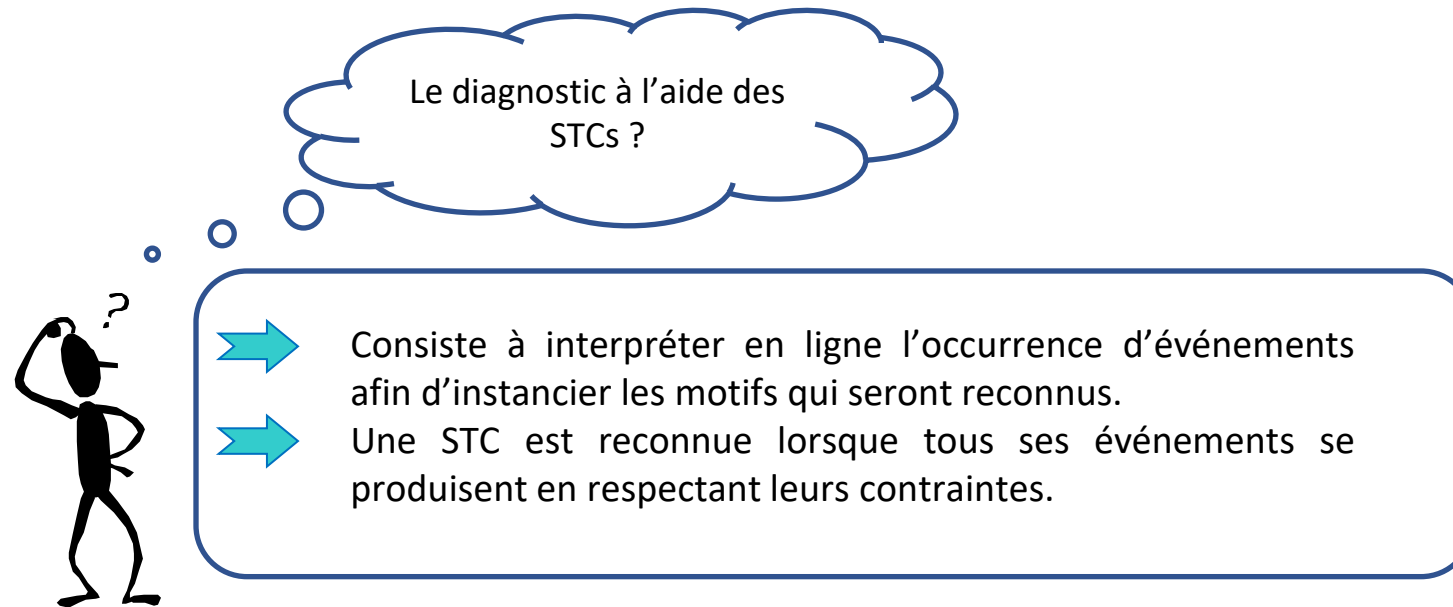
## Syntaxe

$$\underbrace{(In, A, nct) * (In, C, nct) * (A, B, ct_1) * (A, D, ct_2) * (C, D, ct_3) * (D, not E, ct_4)}_{\text{Condition}} \rightarrow \underbrace{G}_{\text{Conséquence}}$$

## Sémantique



# Signatures Temporelles Causales



# Diagnostic à base de STC

Base de STC

STC1 :  $(In, S1, [0,+\infty])^*(S1, S2, [1,3])^*(S2, S3, [1,2]) \Rightarrow F1$

STC2 :  $(In, S2, [0,+\infty])^*(S2, S1, [1,3]) \Rightarrow F2$

STC3 :  $(In, S3, [0,+\infty])^*(S3, S1, [1,2]) \Rightarrow F3$

Observation

$(S1, 0) (S2, 2) (S2, 3) (S3, 4) (S1, 5)$

# Diagnostic à base de STC



Basé sur le concept de monde : un ensemble d'hypothèses cohérentes d'affectations d'événements reçus par la tâche de diagnostic à une et une seule instance de STC.

- *Evènement attendu* { Evtatt, Tmin, Tmax }
- *L* : ensemble de STC instanciées { ensemble EvtPasse, ensemble Evènement attendu }
- *Monde* { L, ensemble de Causes, deadline (Monde) = Min(Tmax de l'ensemble STC instanciées ) }

# Diagnostic à base de STC

1. Hypothèse du monde Fermé : si un evt n'est pas explicitement reçu par la tâche de diagnostic, il est supposé être inexistant.

# Diagnostic à base de STC

1. Hypothèse du monde Fermé

2: Une seule affectation par symptôme : Si un symptôme survient, il est affecté à une et une seule STC dans un monde.

# Diagnostic à base de STC

1. Hypothèse du monde Fermé

2: Une seule affectation par symptôme

3: Duplication des mondes : Si plusieurs STC sont candidates pour l'affectation d'un symptôme, dupliquer le monde en cours en autant de mondes que d'hypothèses d'affectation cohérente.

# Diagnostic à base de STC

1. Hypothèse du monde Fermé

2: Une seule affectation par symptôme

3: Duplication des mondes

4: Si un événement n'est affectable à aucune des STC du monde considéré ou si un événement attendu n'est pas survenu à MAX\_TOi alors le monde considéré est supprimé

# Diagnostic à base de STC

1. Hypothèse du monde Fermé

2: Une seule affectation par symptôme

3: Duplication des mondes

4: Suppression du monde fondé sur un ensemble d'hypothèses incohérentes

5: Fusion des deux mondes

Soient deux mondes  $W_i$  et  $W_j$ . Si  $Causes_i = Causes_j$  ;  $L_i = L_j$  ;  $NE_i = NE_j$  ;  $MIN\_TO_i = MIN\_TO_j$  ;  $MAX\_TO_i = MAX\_TO_j$  , alors garder  $W_i$  et supprimer  $W_j$ .

# Diagnostic à base de STC

1. Hypothèse du monde Fermé

2: Une seule affectation par symptôme

3: Duplication des mondes

4: Suppression du monde fondé sur un ensemble d'hypothèses incohérentes

5: Fusion de deux mondes

6: Utilisation des causes inférées : Si un seul monde subsiste à une date et l'ensemble de ses causes n'est pas vide, les causes identifiées correspondent au diagnostic. Si Li est vide, alors réinitialiser tous les attributs du monde.

# Diagnostic à base de STC

Base de STC

STC1 :  $(In, S1, [0,+\infty]) * (S1, S2, [1,3]) * (S2, S3, [1,2]) \Rightarrow F1$

STC2 :  $(In, S2, [0,+\infty]) * (S2, S1, [1,3]) \Rightarrow F2$

STC3 :  $(In, S3, [0,+\infty]) * (S3, S1, [1,2]) \Rightarrow F3$

Observation

(S1, 0) (S2, 2) (S2, 3) (S3, 4) (S1, 5)

0 S1  
↓

W1
STC1-1(S1; [S2(1,3)]) deadline=3

# Diagnostic à base de STC

Base de STC

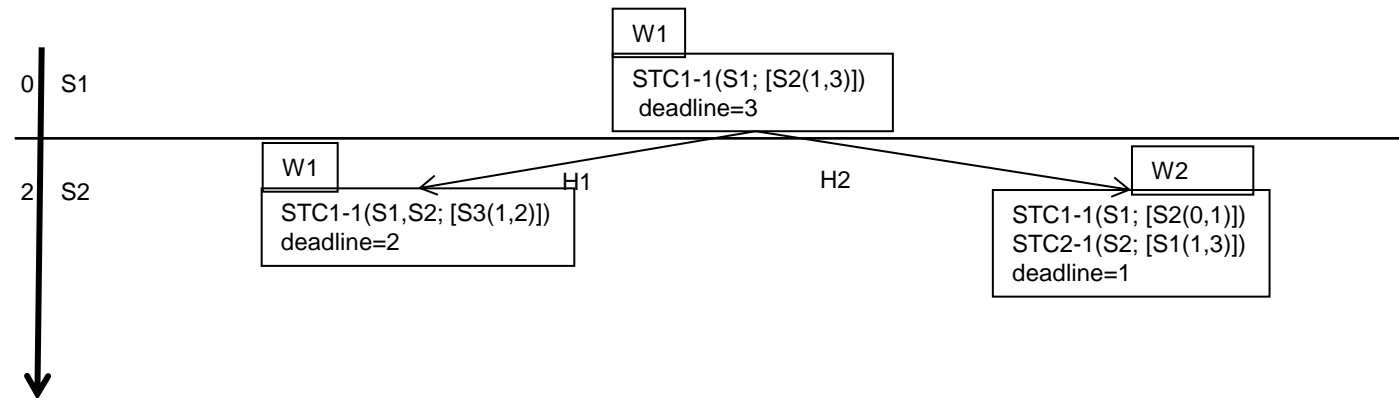
STC1 :  $(In, S1, [0,+\infty]) * (S1, S2, [1,3]) * (S2, S3, [1,2]) \Rightarrow F1$

STC2 :  $(In, S2, [0,+\infty]) * (S2, S1, [1,3]) \Rightarrow F2$

STC3 :  $(In, S3, [0,+\infty]) * (S3, S1, [1,2]) \Rightarrow F3$

Observation

$(S1, 0) (S2, 2) (S2, 3) (S3, 4) (S1, 5)$



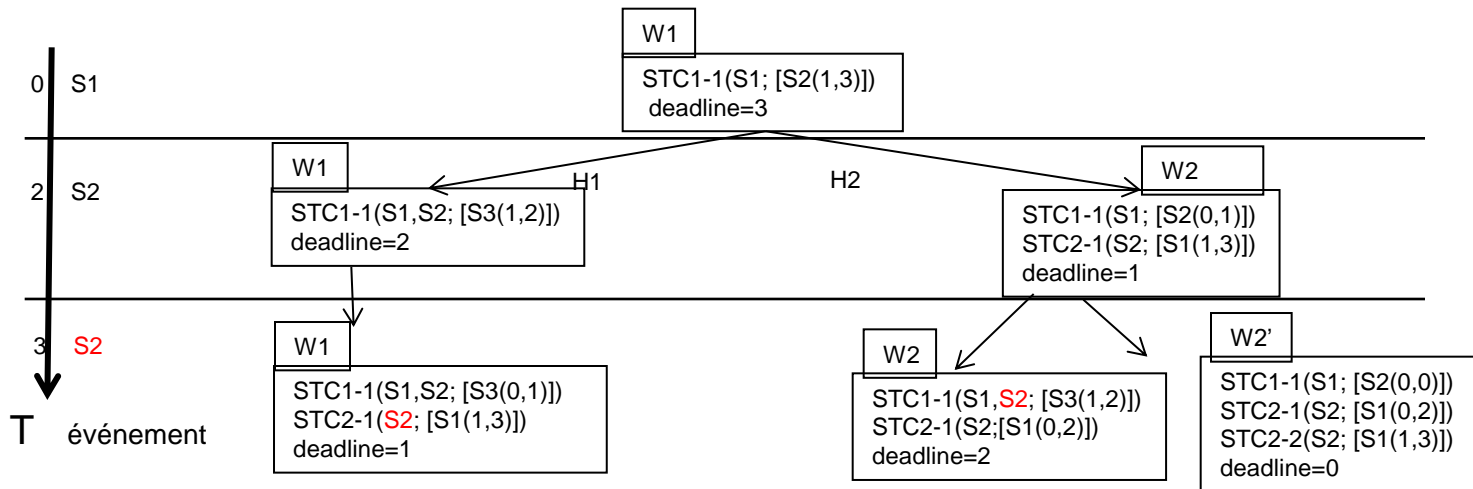
# Diagnostic à base de STC

Base de STC

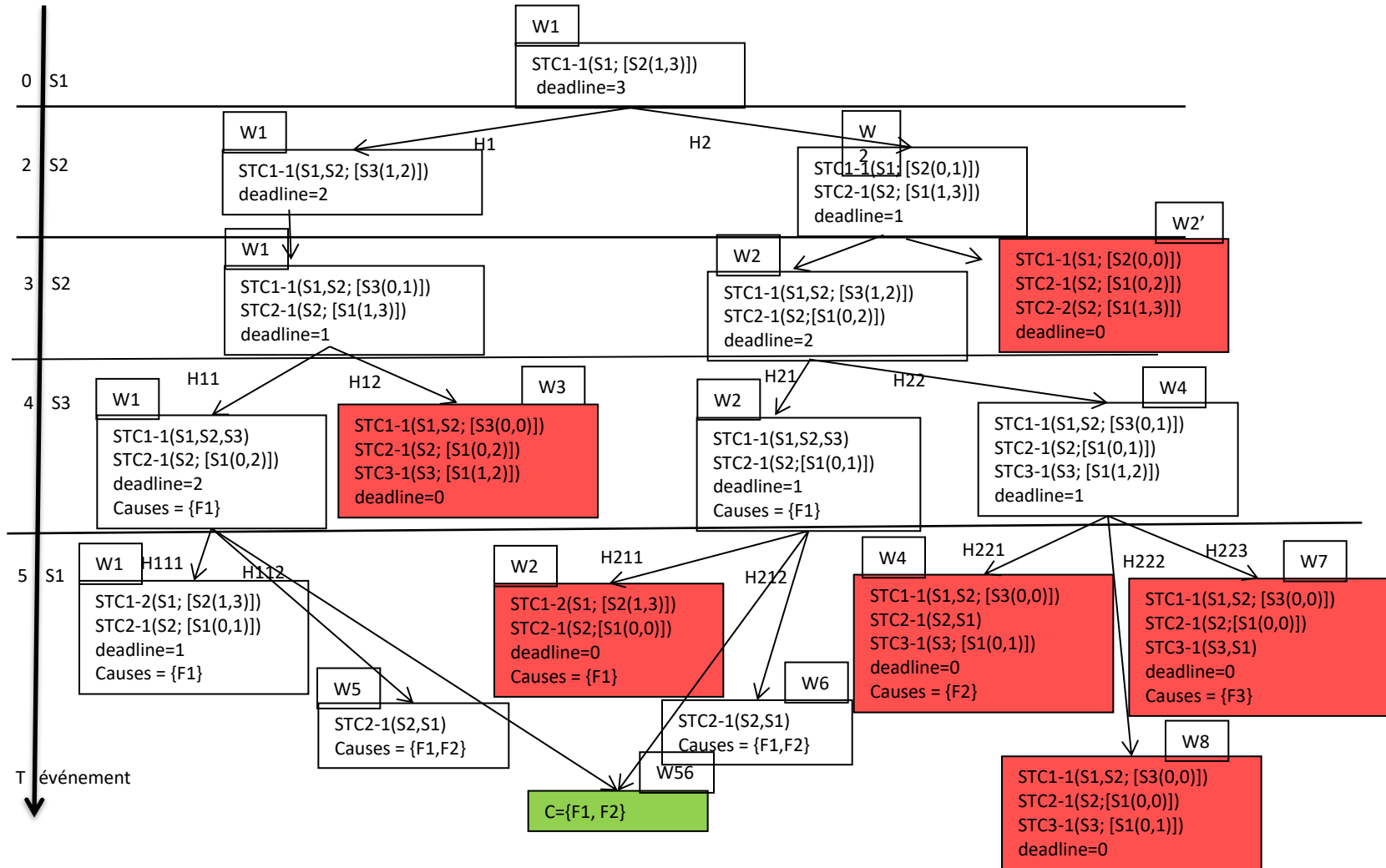
STC1 :  $(In, S1, [0, +\infty]) * (S1, S2, [1, 3]) * (S2, S3, [1, 2]) \Rightarrow F1$   
 STC2 :  $(In, S2, [0, +\infty]) * (S2, S1, [1, 3]) \Rightarrow F2$   
 STC3 :  $(In, S3, [0, +\infty]) * (S3, S1, [1, 2]) \Rightarrow F3$

Observation

$(S1, 0) (S2, 2) (S2, 3) (S3, 4) (S1, 5)$



# Diagnostic à base de STC

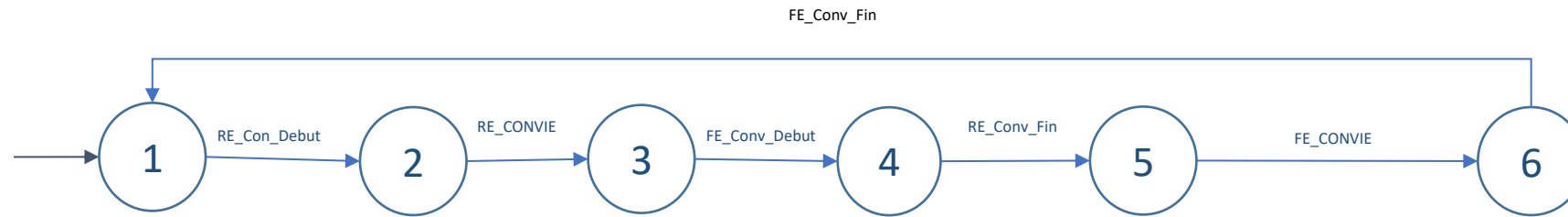


# Systeme du convoyeur

(192.168.243.27:502)			
ID Esclave:1			
Start button	Input 0	Coil 4	CONVIE
Stop button	Input 1	Coil 5	Entry conveyor
Debut	Input 2		
Fin	Input 3		

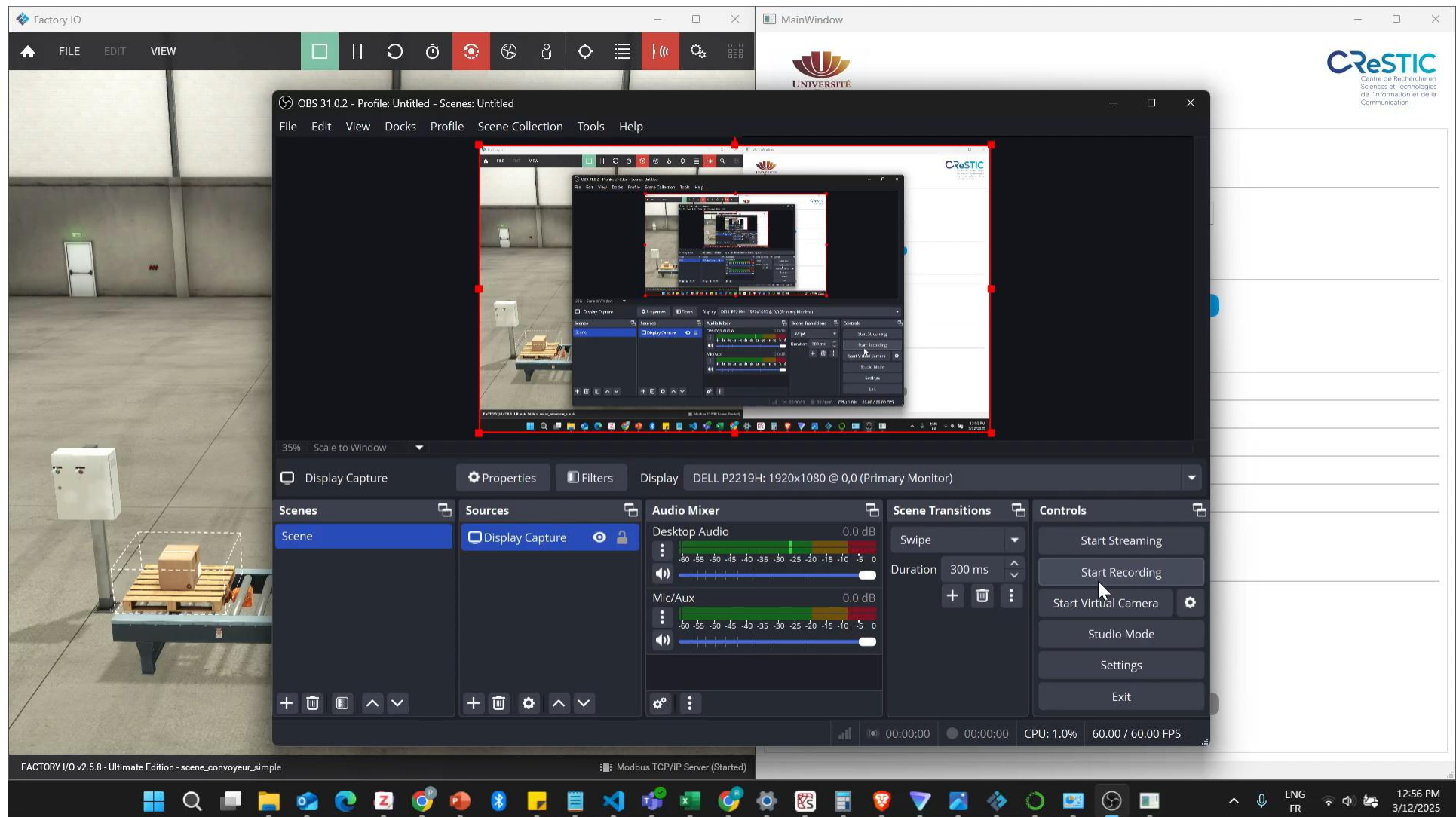


# Systeme du convoyeur

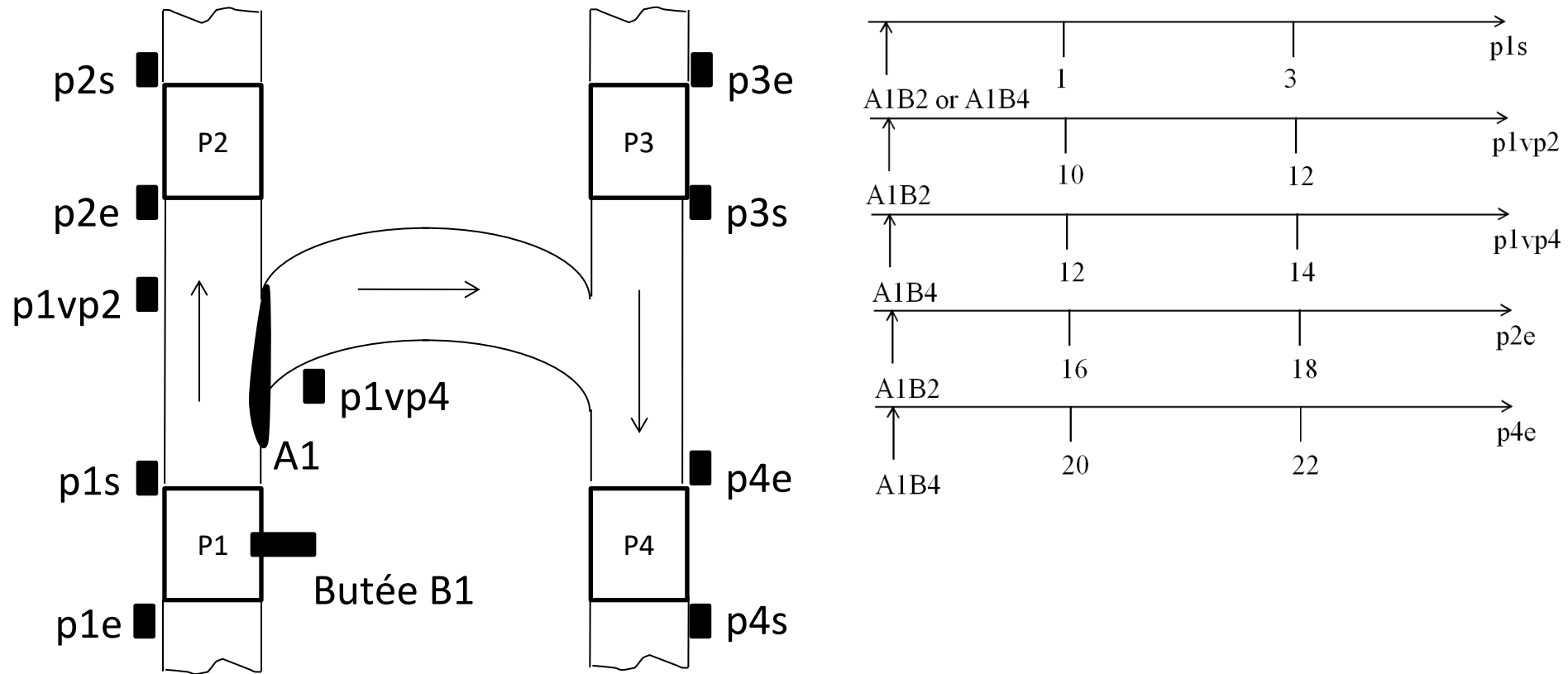


- $(In, RE\_Debut, [-1, -1]) * (RE\_Debut, FE\_Debut, [2.3, 2.6]) * (FE\_Debut, RE\_Fin, [6.7, 6.92]) * (RE\_Fin, FE\_Fin, [1.7, 2.1]) \Rightarrow$  Normal
- $(In, RE\_Debut, [-1, -1]) * (RE\_Debut, S\_FE\_Debut, [2.65, 2.7]) \Rightarrow$  collage0Convoyeur
- $(In, RE\_Debut, [-1, -1]) * (RE\_Debut, S\_FE\_Debut, [2.65, 2.65]) * (RE\_Debut, RE\_Fin, [6.7, 6.92]) (RE\_Fin, FE\_Fin, [1.7, 2.1]) \Rightarrow$  collage1Debut
- $(In, RE\_Debut, [-1, -1]) * (RE\_Debut, FE\_Debut, [2.3, 2.6]) * (FE\_Debut, S\_RE\_Fin, [7, 7]) \Rightarrow$  collage0Fin

# Diagnostic du Système du convoyeur



# Application sur un cas d'étude : convoyeur à bande



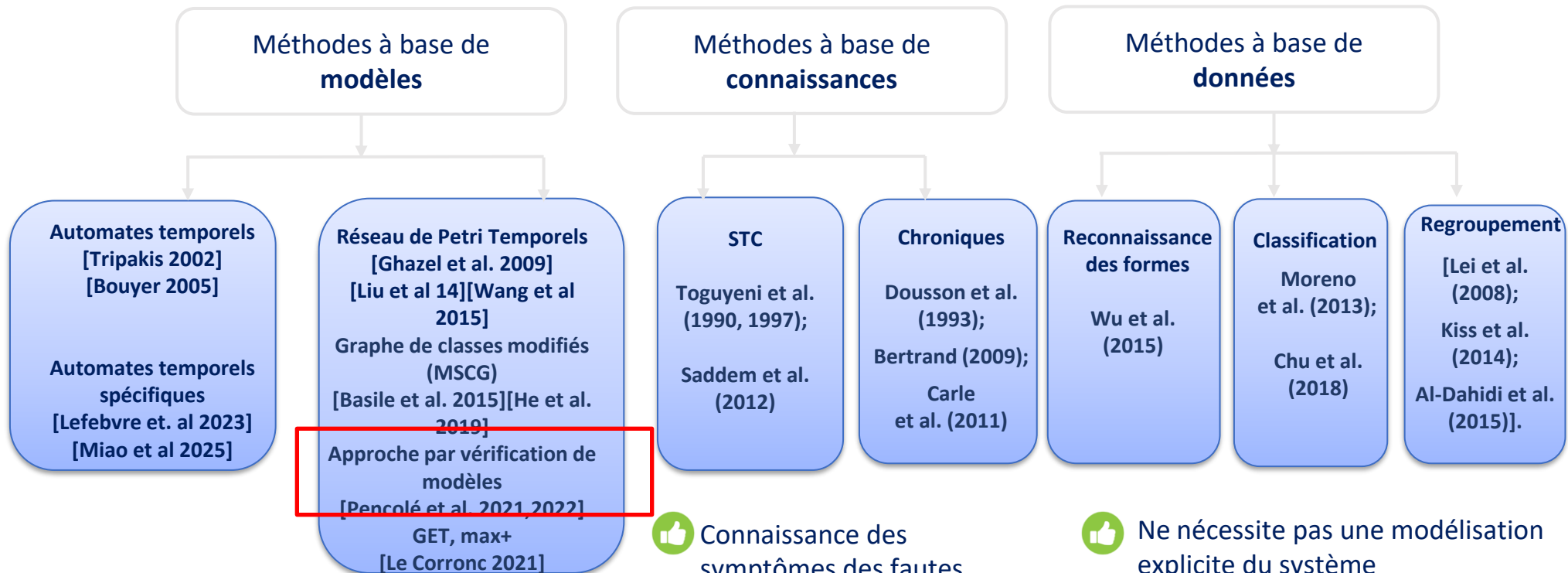
# Application sur un cas d'étude : convoyeur à bande

- **STC1**: (A1B2, S1p1s, [3,3]) \* (A1B2, p1vp2, [10,12]) \* (A1B2, p2e, [16,18]) → (collage, p1s, 0)
- **STC2**: (A1B4, S1p1s, [3,3]) \* (A1B4, p1vp4, [12,14]) \* (AB1, p4e, [20,22]) → (collage, p1s, 0)
- **STC3**: (A1B2, p1s, [1,3]) \* (A1B2, S1p1vp2, [12,12]) \* (A1B2, S1p2e, [18,18]) → (blocage, A1, P1vP4)
- **STC4**: (A1B4, p1s, [1,3]) \* (A1B4, S1p1vp4, [14,14]) \* (A1B4, S1p4e, [22, 22]) → (blocage, A1, P1vP2)
- **STC5**: (A1B2, S1p1s, [3,3]) \* (A1B2, S1p1vp2, [12,12]) \* (A1B2, S1p2e, [18,18]) → (blocage, B1, sortie)
- **STC6**: (A1B4, S1p1s, [3,3]) \* (A1B4, S1p1vp4, [14,14]) \* (A1B4, S1p4e, [22,22]) → (blocage, B1, sortie)

# Diagnostic et diagnosticabilité de motifs dans les réseaux de Petri temporels

Une approche par vérification automatique de modèles

# Méthodes de diagnostic des SED temporels et temporisés



- 👍 La validation de la cohérence et la complétude des défauts à diagnostiquer.
- 👎 Problème d'explosion combinatoire lors de l'implémentation sur des systèmes réels

- 👍 Connaissance des symptômes des fautes qu'elles modélisent
- 👎 L'acquisition des connaissances expertes et de leur mise à jour

- 👍 Ne nécessite pas une modélisation explicite du système
- 👍 Apprendre des expériences
- 👍 Amélioration des performances
- 👎 Une étape de prétraitement des données
- 👎 Une grande quantité de données

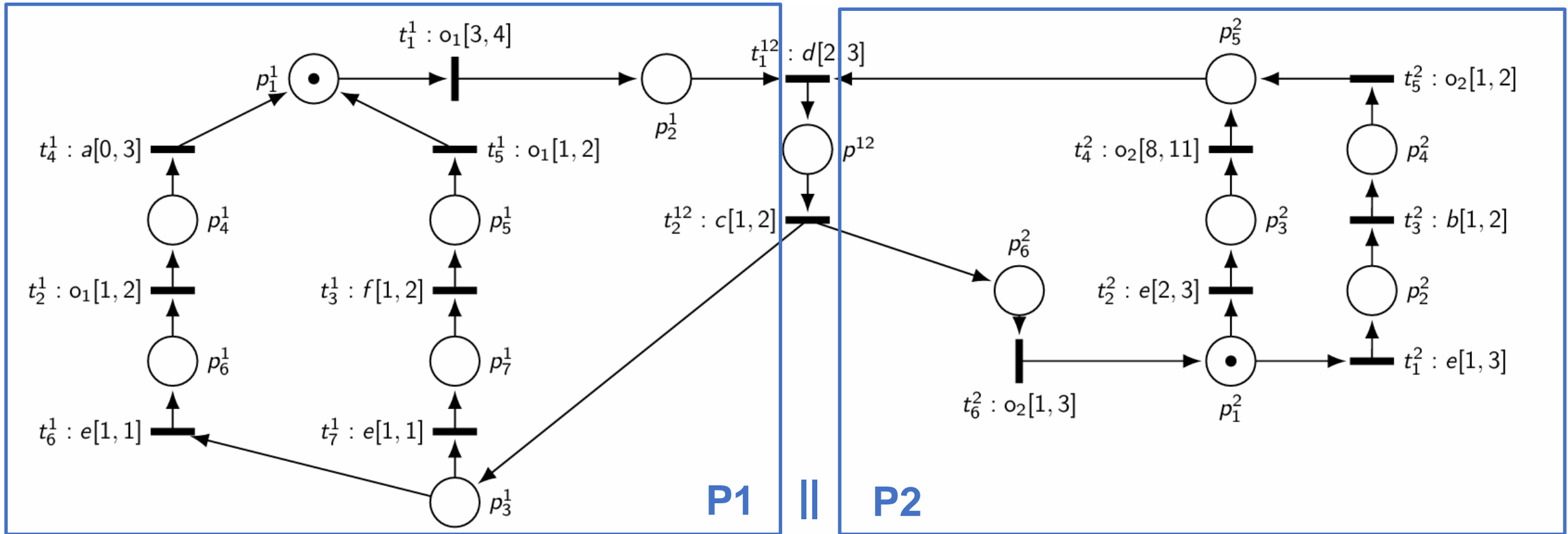
# Motivations générales

- Comment résoudre des **problèmes de diagnostic** sur des **systems à événements discrets temporels** à l'aide d'outils de **vérification de modèles** (*model-checking*) ?
- Type de problèmes
  - **Diagnostic** : déterminer si un phénomène spécifique (un défaut, une défaillance) a eu lieu dans le système à partir des observations du système
  - **Diagnosticabilité** : déterminer si un phénomène spécifique pourra toujours être diagnostiqué avec certitude et en temps fini
- Et autres (prédiction, prédictibilité...)

# Motivations générales (2)

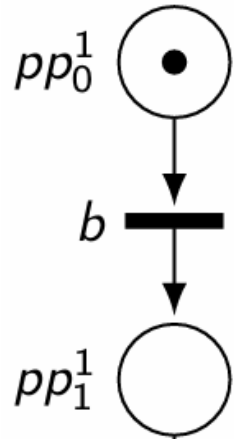
- Comment résoudre des **problèmes de diagnostic** sur des **systèmes à événements discrets temporels** à l'aide d'outils de **vérification de modèles** (*model-checking*) ?
- Type de systèmes temporels:
  - **Réseaux de Petri temporels**
  - On supposera qu'ils sont saufs, pas de multi-sensibilisations, intervalles du type  $[a,b]$ , pas de cycle zénon, pas de systèmes bloquants, pas de cycles non-observables.
  - Vérification automatique basée sur l'exploitation des SCG (Strong Class Graph)
- Type de phénomènes
  - Événement de défaut
  - **Motifs de défauts (séquences, ordres partiels)**
  - Motifs temporels de défauts

# Exemple: deux processus communicants P1 || P2



- Processus P1 et P2 communiquent avec les transitions synchronisées  $t_1^{12}$  et  $t_2^{12}$  et la ressource partagée  $p^{12}$
- Seuls les événements  $o_1$  et  $o_2$  sont observables
- P1 n'émet que des  $o_1$  et P2 que des  $o_2$

# Modèles de motifs de défauts par réseau de Petri

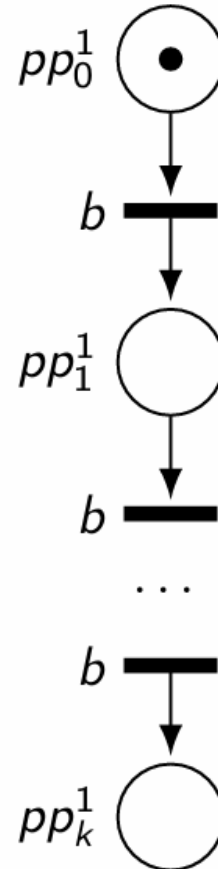


Événement simple  $\Omega_1^b(1)$

Une occurrence de b (sur P2) est considérée comme un défaut

Marquages accepteurs

$$Q_{\Omega_1^b(1)} = \{ M : M(pp_1^1) = 1 \}$$



Séquence d'événements  $\Omega_1^b(k)$

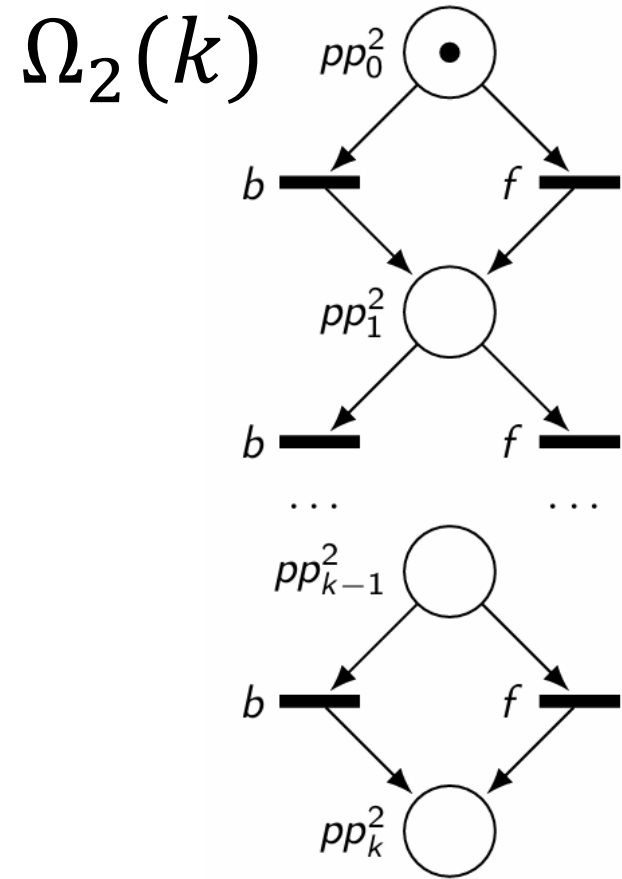
k occurrences de b sur P2 sont considérées comme un défaut

k-1 occurrences de b n'est pas un défaut

Marquages accepteurs

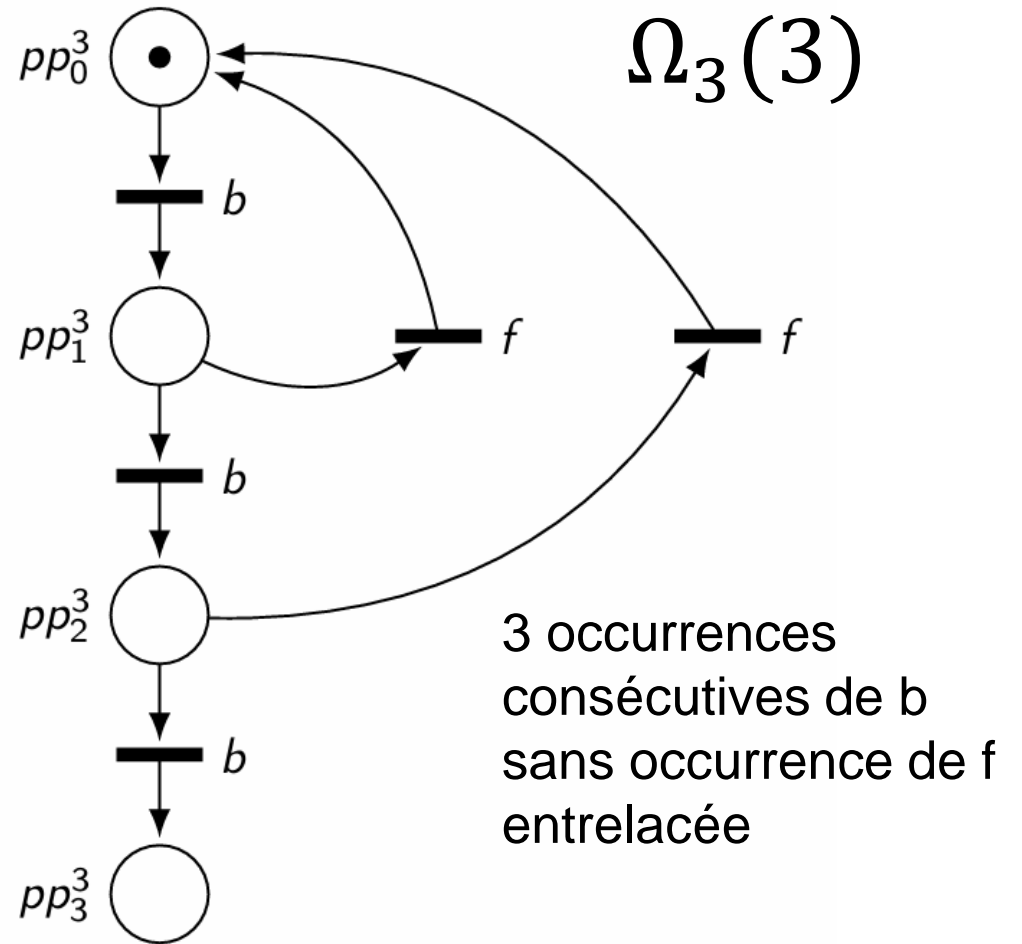
$$Q_{\Omega_1^b(k)} = \{ M : M(pp_k^1) = 1 \}$$

# Motifs plus expressifs



**Alternatives**  
 $k$  occurrences de  $b$   
 (sur P2) ou  $f$  (sur P1)  
 peu importe le  
 nombre de  $b$  et le  
 nombre de  $f$

$$Q_{\Omega_2(k)} = \{ M : M(pp_k^2) = 1 \}$$



3 occurrences  
 consécutives de  $b$   
 sans occurrence de  $f$   
 entrelacée

$$Q_{\Omega_3(3)} = \{ M : M(pp_3^3) = 1 \}$$

# Diagnosticabilité temporelle

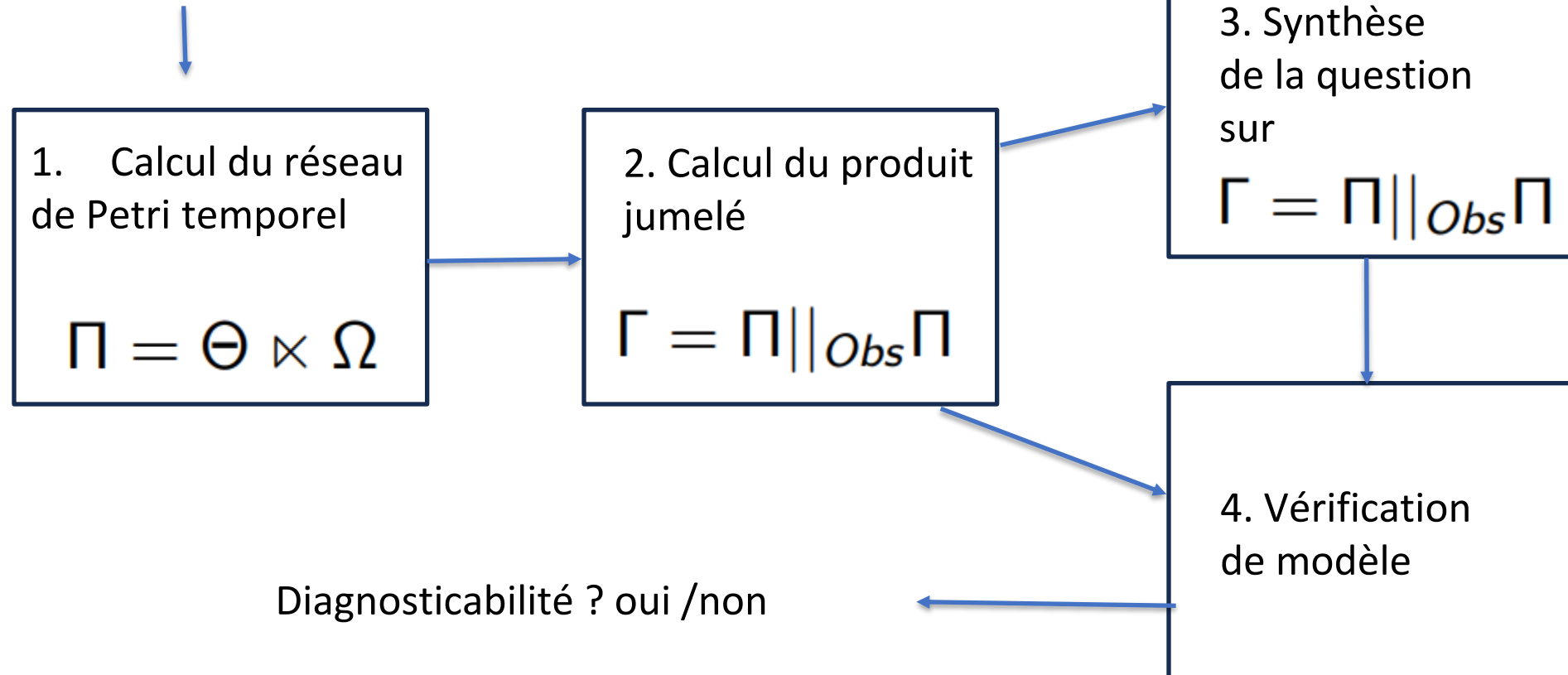
- Un système est  $\Omega$ -diagnosticable si

$$(\exists \tau \in \mathbb{R}^+), \forall \rho_1, \rho_2 \in \mathcal{L}(\Theta) : \rho_1 = \rho'_1 \rho''_1, \text{time}(\rho''_1) \geq \tau, \\ \rho'_1 \ni \Omega \wedge \mathcal{P}_{\Sigma_\Theta \rightarrow \Sigma_\Theta^\circ}(\rho_1) = \mathcal{P}_{\Sigma_\Theta \rightarrow \Sigma_\Theta^\circ}(\rho_2) \implies \rho_2 \ni \Omega.$$

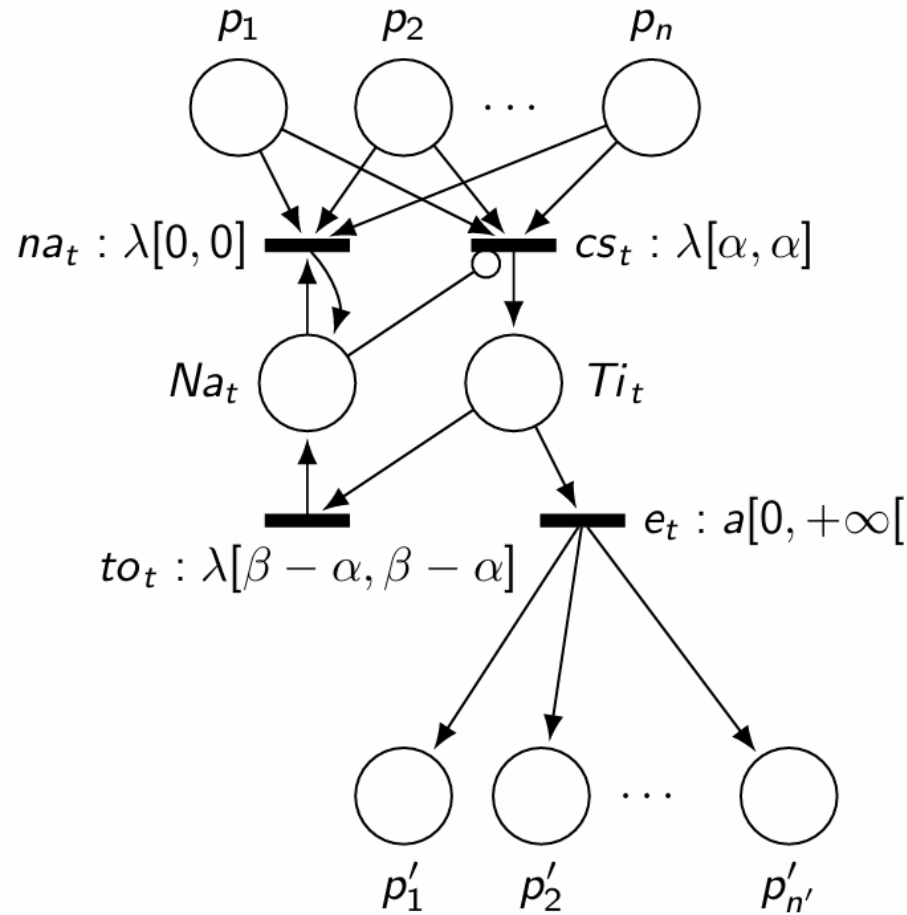
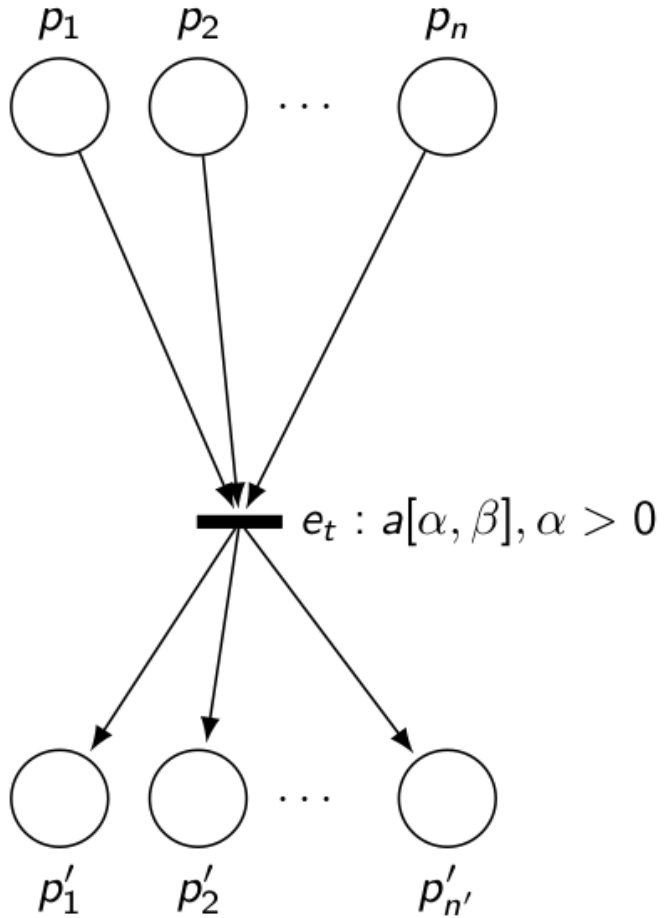
- **Intuition:** il existe toujours une **durée finie**  $\tau$  après l'occurrence du motif ( $\rho'_1 \ni \Omega$ ) après laquelle on a **assez d'observations** ( $\mathcal{P}_{\Sigma_\Theta \rightarrow \Sigma_\Theta^\circ}(\rho_1)$ ) pour être **certain** que le motif a eu lieu ( $\rho_2 \ni \Omega$ ).
- Extension au motif de la diagnosticabilité temporelle de faute simple [Tripakis 2002]

# Vérification de la diagnosticabilité temporelle: méthode

Systeme  $\Theta$  , Motif  $\Omega$



# Décomposition temporelle d'une transition $t$



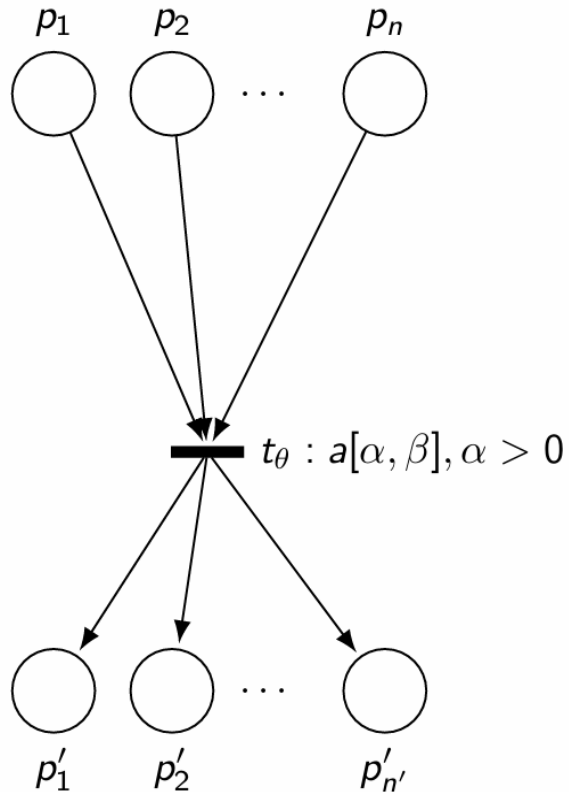
$cs$  : *clock starting*  
(démarrage de l'horloge relative à la sensibilisation de  $t$ )

$to$  : *timeout*  
(date d'expiration de  $t$  relative à la sensibilisation de  $t$ )

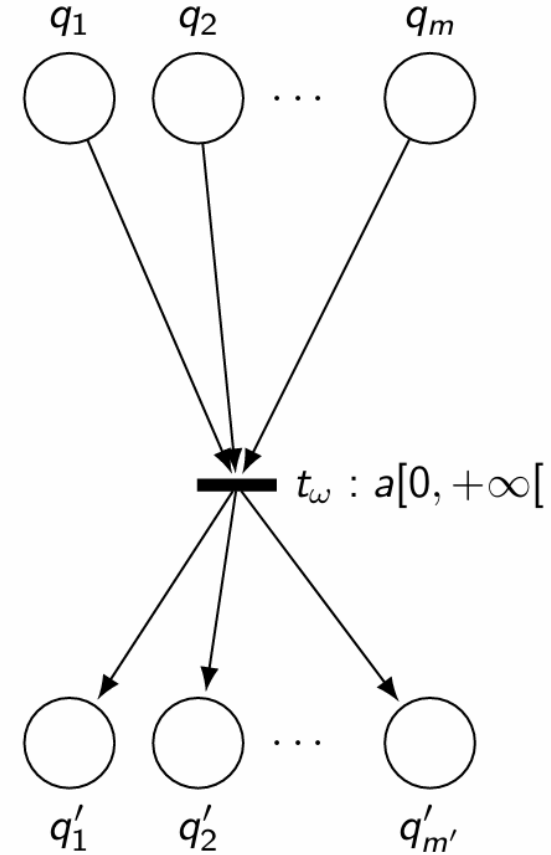
$na$  : *non admissible*  
(exprime des tirs de  $t$  illégaux)

# Produit système/motif

- Comment synchroniser les deux transitions suivantes ?

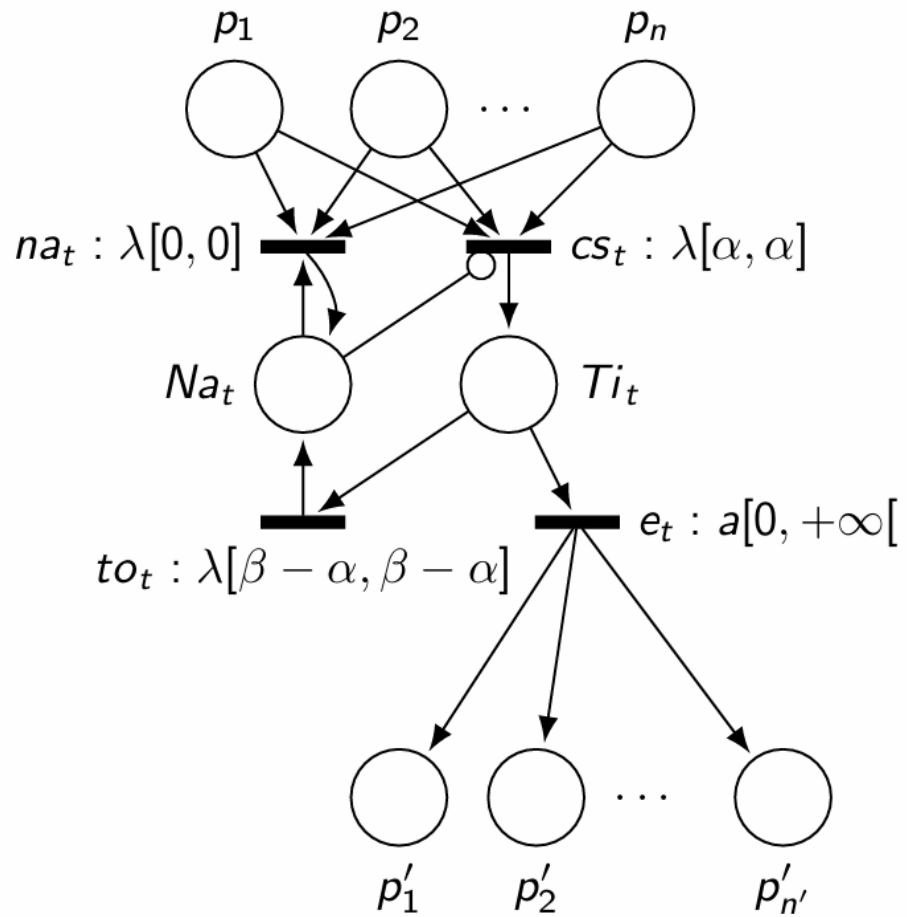


Transition issue du système

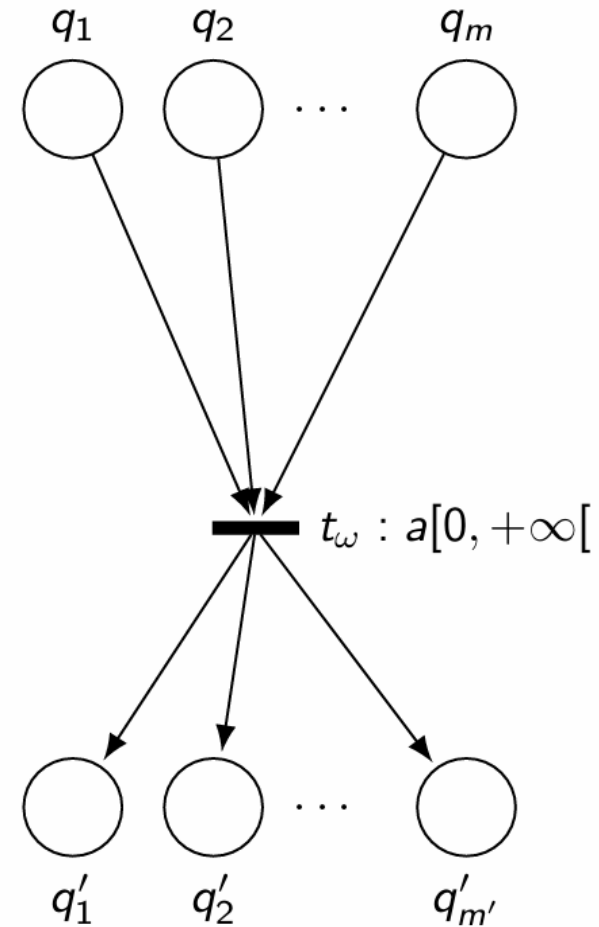


Transition issue du motif

# Produit système/motif: étape 1

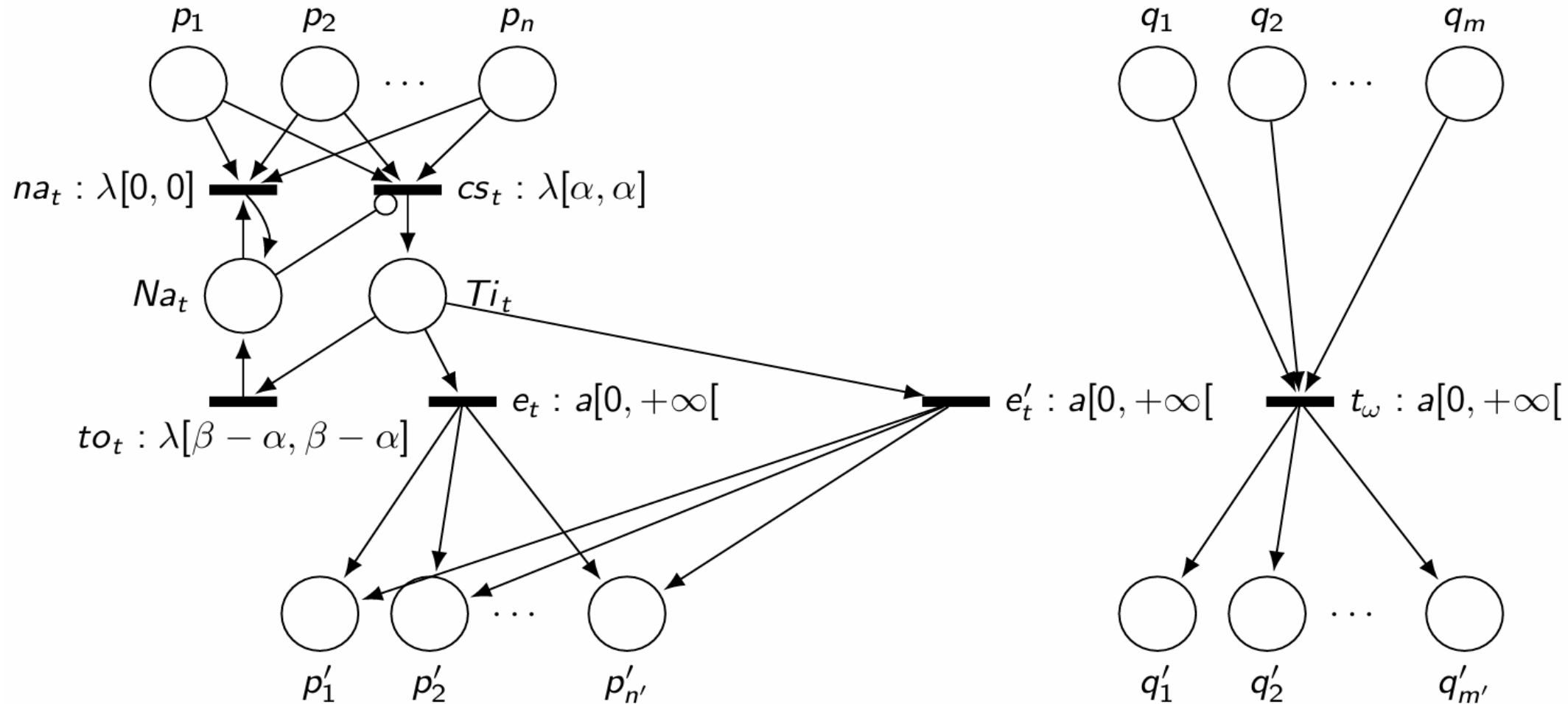


Décomposition temporelle de la transition du système



Transition issue du motif

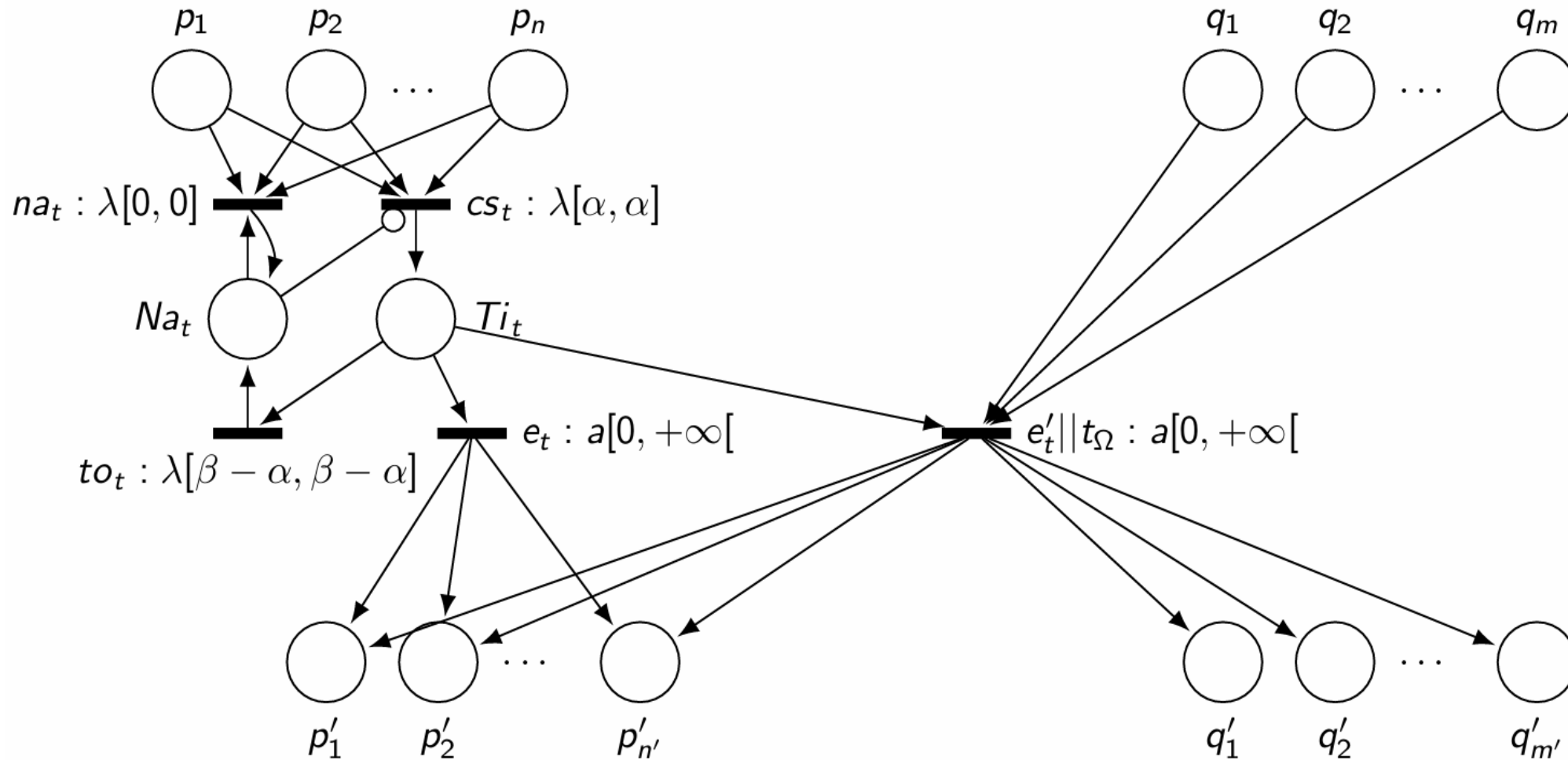
# Produit système/motif: étape 2 duplication



Décomposition temporelle de la transition du système

Transition issue du motif

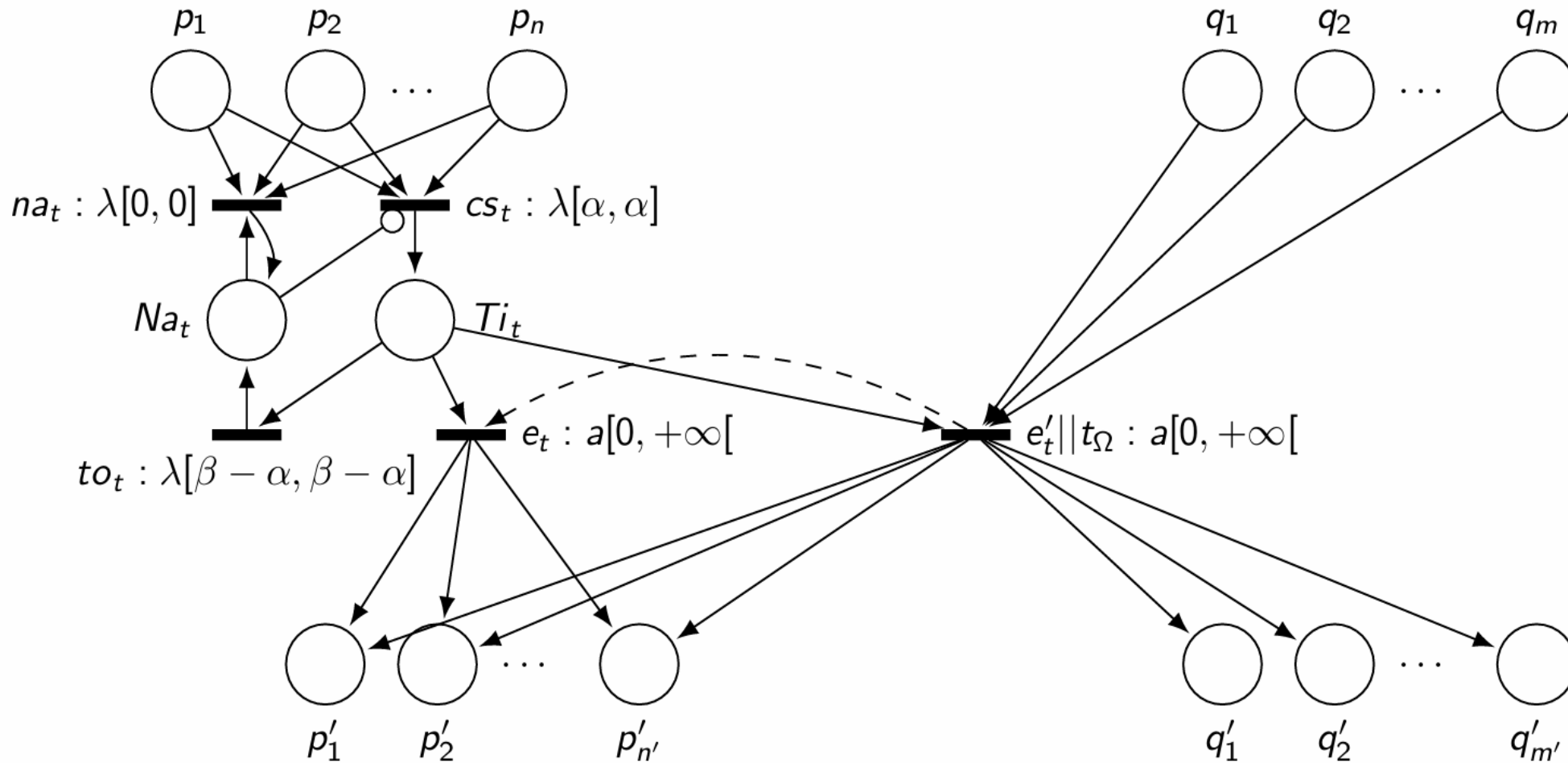
# Produit système/motif: étape 3 fusion



Décomposition temporelle de la transition du système

Transition issue du motif

# Produit système/motif: étape 4 priorité



Décomposition temporelle de la transition du système

Transition issue du motif

# Propriété du produit système/motif

- Non-intrusif (observateur)
- Reconnaissance du motif au plus tôt
- Produit asymétrique:
  - Le comportement du système est synchronisé avec le motif, ... ou pas
  - Le motif est toujours synchronisé
- Le langage admissible du produit = ensemble des séquences du système où le motif a eu lieu

$$\mathcal{L}(\Theta \times \Omega, Q_{\Theta \times \Omega}^{match}) = \{\rho \in \mathcal{L}(\Theta) \mid \rho \ni \Omega\}$$

# Synthèse du produit jumelé

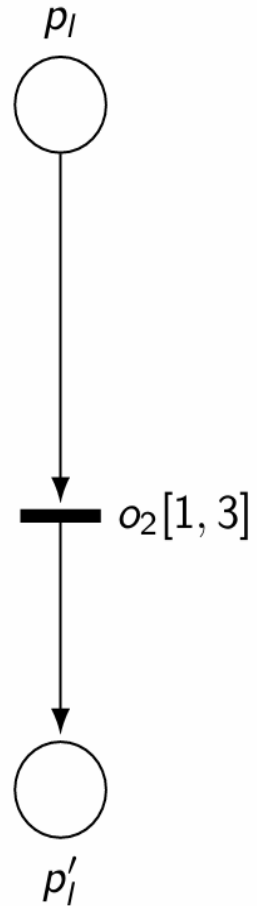
## Objectifs du produit jumelé $\Gamma$

1. Une séquence du produit jumelé représente un **couple de séquences**  $\rho_l$   $\rho_r$  de  $\Theta \times \Omega$  qui produit la **même séquence observable**
2. **Une paire critique** est une séquence infinie de  $\Gamma$  telle que:
  1. Le motif se produit dans  $\rho_l$
  2. Le motif ne se produit pas dans  $\rho_r$
3. **Diagnosticabilité = Pas de paire critique** dans  $\Gamma$

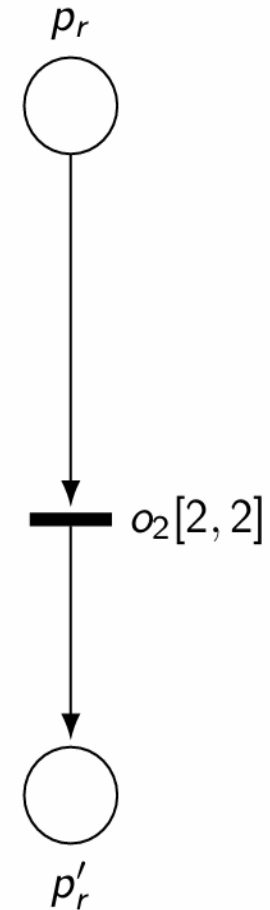
Calcul de  $\Gamma$  par **fusion de transitions** de deux copies de  $\Theta \times \Omega$

- Fusion des transitions **observables seulement**  $\Gamma = \Pi_l |||_{obs} \Pi_r$
- Les transitions non observables sont seulement dupliquées

# Fusion de transition: exemple

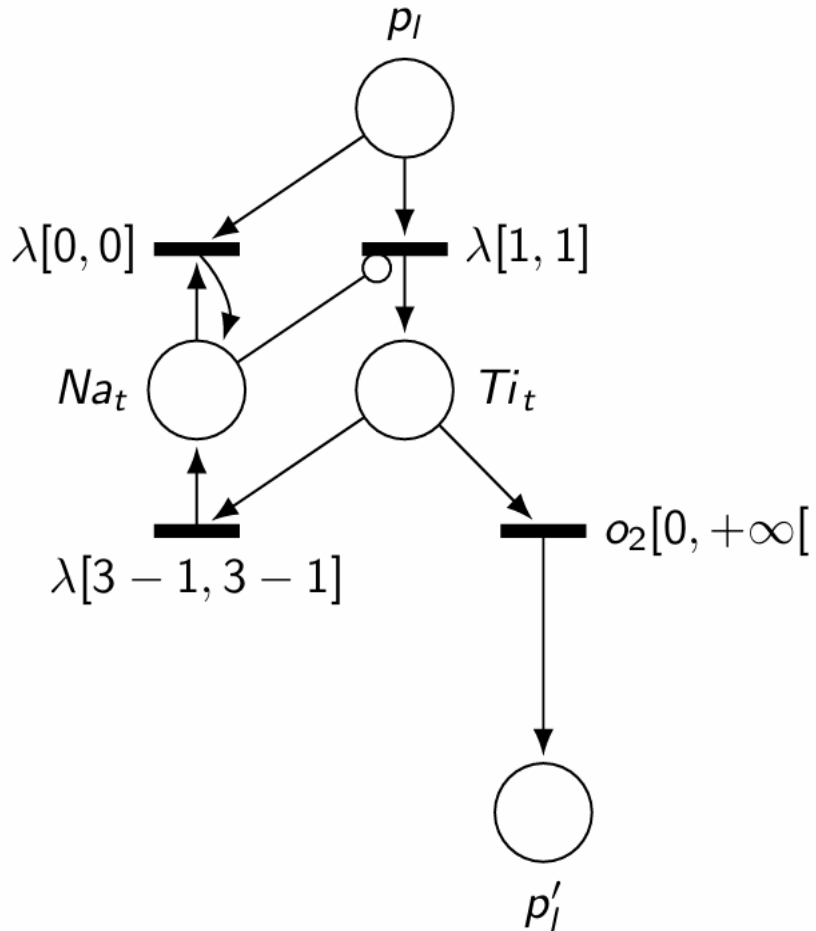


Transition de  $\Theta \times \Omega$  (gauche)

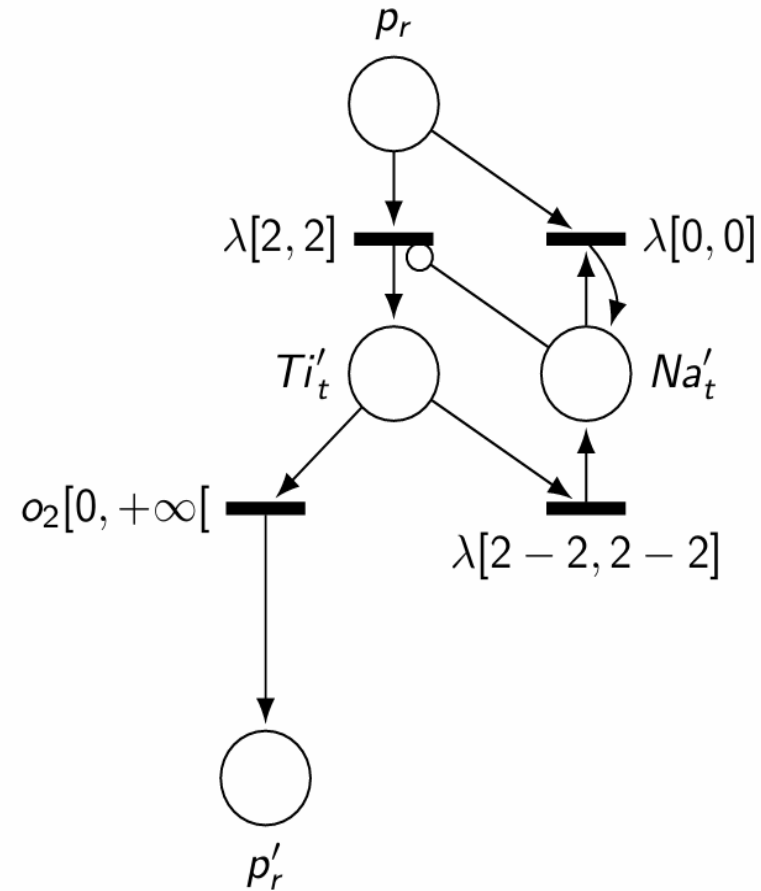


Transition de  $\Theta \times \Omega$  (droite)

# Fusion de transition: décompositions temporelles

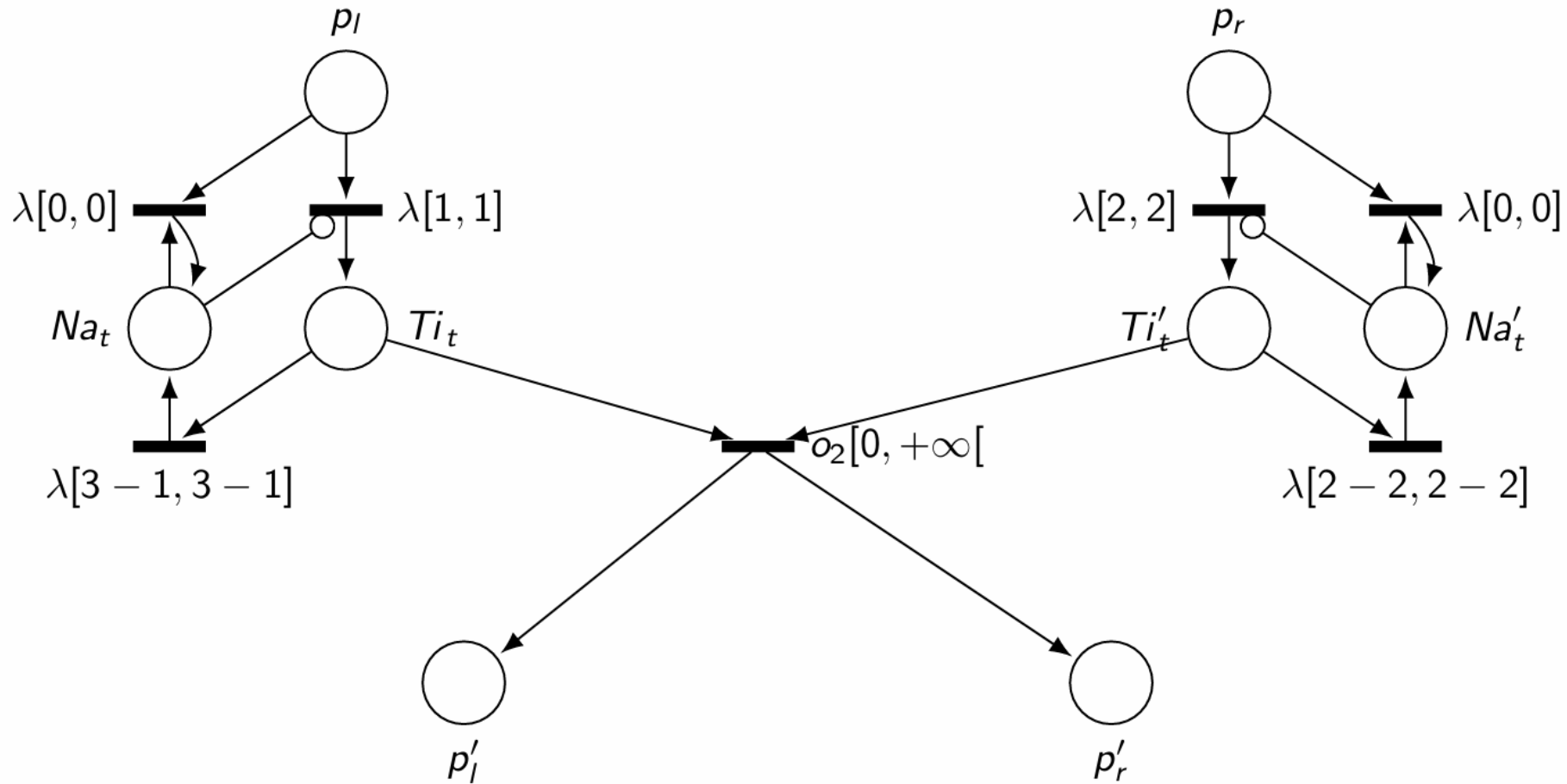


Transition de  $\Theta \times \Omega$  (gauche)



Transition de  $\Theta \times \Omega$  (droite)

# Fusion de transition: synchronisation temporelle



Partie du produit jumelé  $\Gamma = \Pi_l ||_{obs} \Pi_r$

# Synthèse de la question en SE-LTL

- Logique (State/Event Linear Temporal Logic)

$$\varphi ::= r \mid \neg\varphi \mid \varphi \vee \varphi \mid \varphi \wedge \varphi \mid \bigcirc\varphi \mid \square\varphi \mid \diamond\varphi \mid \varphi\mathbf{U}\varphi$$

$$r ::= e \mid e \Delta e$$

$$e ::= p \mid a \mid c \mid e \nabla e$$

- $p$ : place,  $a$ : transition,  $c$ : valeur,  $\Delta \in \{=, <, >, \leq, \geq\}$   $\nabla \in \{+, -, *, /\}$
- Opérateurs:  $\bigcirc$  (next)  $\square$  (always)  $\diamond$  (eventually)  $\mathbf{U}$  (until)

# SE-LTL: vérification sur les marquages

- Exemple: propriété sur un ensemble de marquages

$$\text{Markings}(N, Q) \equiv (p_1 = 1 \wedge p_2 = 1)$$

N: réseau de Petri temporel

Q: ensemble des marquages M de N tel que  $M(p_1)=1$  et  $M(p_2)=1$ .

- Exemple: toute exécution de N mène par une continuation finie à un marquage de Q

$$N \models \square \diamond \text{Markings}(N, Q)$$

# Vérifier qu'un marquage du produit est admissible

- Marquage admissible = pas de jetons dans les places  $N_a$

$$\text{Adm}(\Pi_i) \equiv \bigwedge_{Na\Theta \in \Pi_i} Na\Theta = 0.$$

- Marquage admissible de  $\Gamma = \Pi_l ||_{obs} \Pi_r$

$$\text{Adm}(\Gamma) \equiv \text{Adm}(\Pi_l) \wedge \text{Adm}(\Pi_r).$$

# Vérifier les occurrences du motif

- Pour que le motif ait lieu dans une exécution de  $\Pi_i$ 
  1. Elle doit être admissible
  2. Elle doit atteindre un marquage incluant un marquage accepteur du motif:  $Q_\Omega$

$$\text{Match}(\Pi_i) \equiv \text{Adm}(\Pi_i) \wedge \text{Markings}(\Omega, Q_\Omega).$$

- Pour que le motif n'ait pas lieu dans une exécution de  $\Pi_i$ 
  1. Elle doit être admissible
  2. Elle doit atteindre un marquage n'incluant pas un marquage accepteur du motif:  $Q_\Omega$

$$\text{NoMatch}(\Pi_i) \equiv \text{Adm}(\Pi_i) \wedge \neg \text{Markings}(\Omega, Q_\Omega).$$

- Il y a ambiguïté dans une exécution du produit jumelé si:

$$\text{Ambiguous}(\Gamma) = \text{Match}(\Pi_l) \wedge \text{NoMatch}(\Pi_r).$$

# Vérifier la diagnosticabilité du motif

- Système diagnosticable = pas de paire critique
- 1. Il existe toujours une continuation finie de tout exécution ambiguë qui ne l'est plus

$$\Box(\text{Ambiguous}(\Gamma) \Rightarrow \Diamond(\text{Adm}(\Gamma) \Rightarrow \text{Match}(\Pi_r)))$$

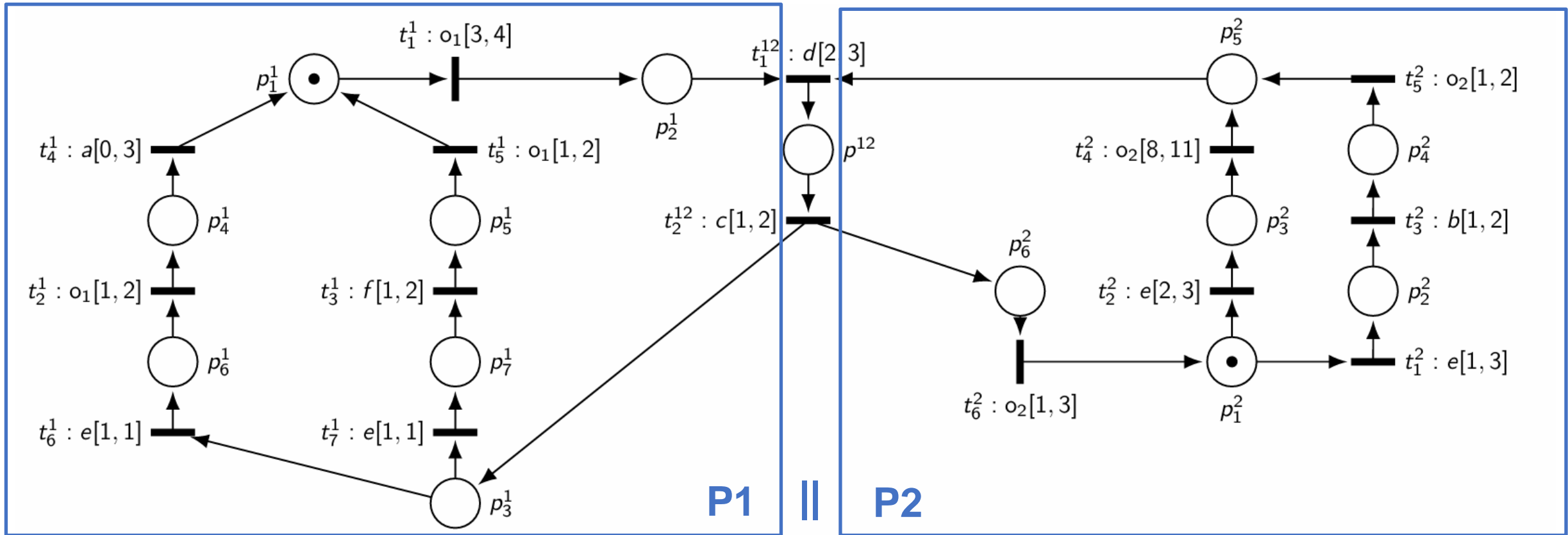
- 2. Ou une continuation finie bloquante

$$\Box(\text{Ambiguous}(\Gamma) \Rightarrow \Diamond(\text{dead}))$$

D'où la question de diagnosticabilité finale:

$$\varphi = \text{Diagnosable}(\Theta, \Omega) = \Box(\text{Ambiguous}(\Gamma) \Rightarrow \Diamond(\text{Adm}(\Gamma) \Rightarrow (\text{Match}(\Pi_r) \vee \text{dead})))$$

# Exemple: deux processus communicants P1 || P2



- Processus P1 et P2 communiquent avec les transitions synchronisées  $t_1^{12}$  et  $t_2^{12}$  et la ressource partagée  $p^{12}$
- Seuls les événements  $o_1$  et  $o_2$  sont observables
- P1 n'émet que des  $o_1$  et P2 que des  $o_2$

# Quelques exemples de résultats

Case	Pattern	System	Result
1	$\Omega_1^b(1)$ : one event $b$	$\Theta$	OK
2	$\Omega_1^b(2)$ : two events $b$	$\Theta$	OK
3	$\Omega_1^b(10)$ : ten events $b$	$\Theta$	OK
4	$\Omega_1^f(1)$ : one event $f$	$\Theta$	KO
5	$\Omega_2(1)$ : one event $f$ or one event $b$	$\Theta$	KO
6	$\Omega_2(1)$ : one event $f$ or one event $b$	$\Theta : a[0, 3] \rightarrow a[2, 3]$	OK
7	$\Omega_3(4)$ : 4 consecutive events $b$ without an $f$	$\Theta : a[0, 3] \rightarrow a[2, 3]$	OK
8	$\Omega_3(4)$ : 4 consecutive events $b$ without an $f$	$\Theta$	KO

# Diagnostic: quelques exemples

- Après l'étude de diagnosticabilité, passons maintenant au diagnostic
- Supposons que l'on observe:

$$\sigma = 3o_1 2o_2 8o_2 2o_1 1\lambda$$

- Le diagnostic est:

- Un événement b a certainement eu lieu:  $\Omega_1^b(1) - \textit{faulty}$

- L'événement b a pu avoir lieu deux fois, mais pas sûr:

$$\Omega_1^b(2) - \textit{ambiguous}$$

- Deux occurrences parmi {b,f} ont eu lieu:

$$\Omega_2(2) - \textit{faulty}$$

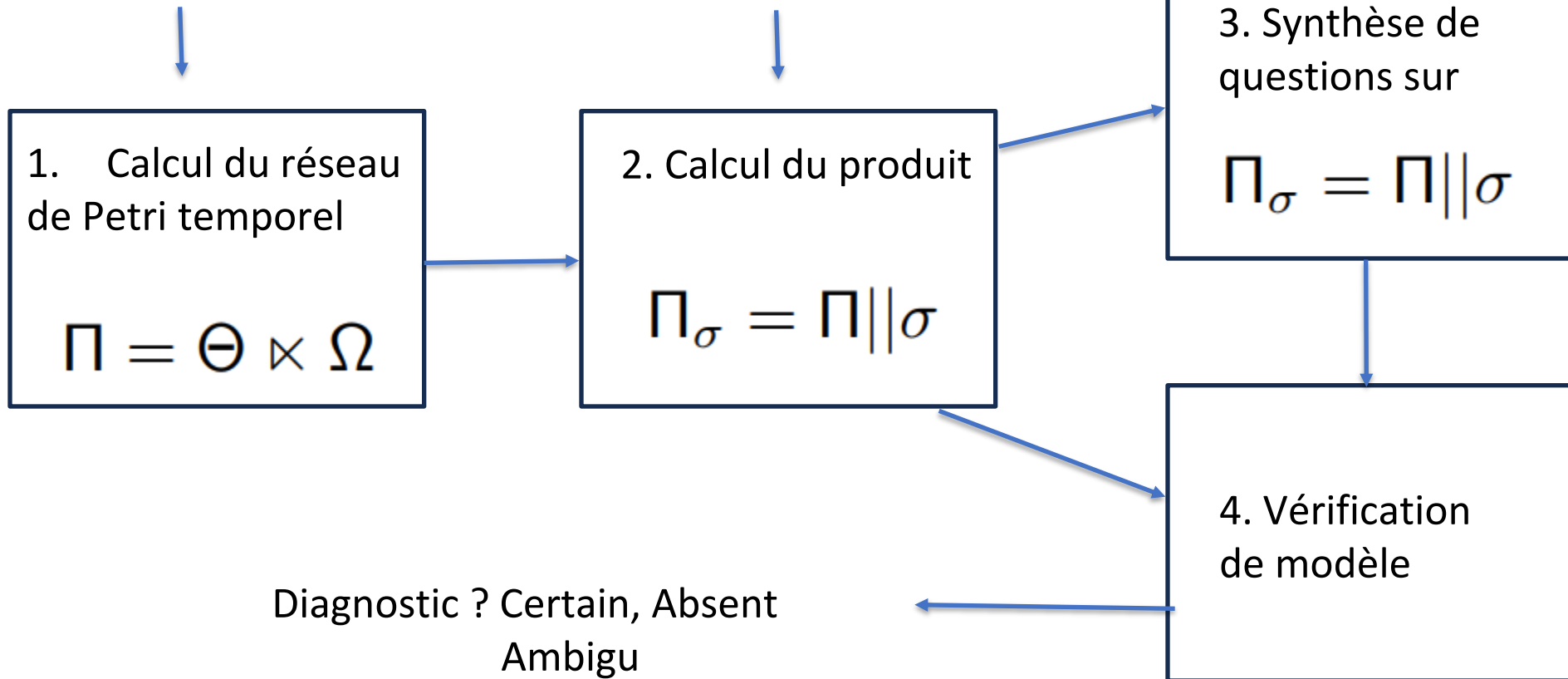
- En aucun cas, on a eu l'occurrence de 3 b consécutifs sans l'occurrence d'un f:

$$\Omega_3(3) - \textit{safe}$$

# Principe de la méthode de diagnostic

Systeme  $\Theta$ , Motif  $\Omega$

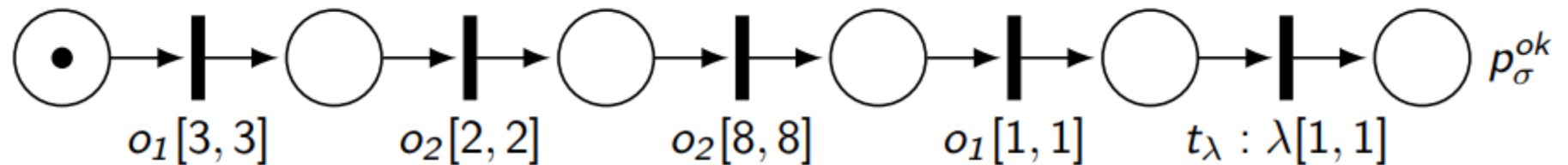
Observations  $\sigma$



# Représentation des observations datées

$$\sigma = 3o_12o_28o_21o_11\lambda.$$

$$\xi_\sigma =$$



$\lambda$  n' est pas un événement observable, c'est un **point temporel**. La durée effective de l'observation est de 15 unités de temps même si le dernier événement produit est la date 14.

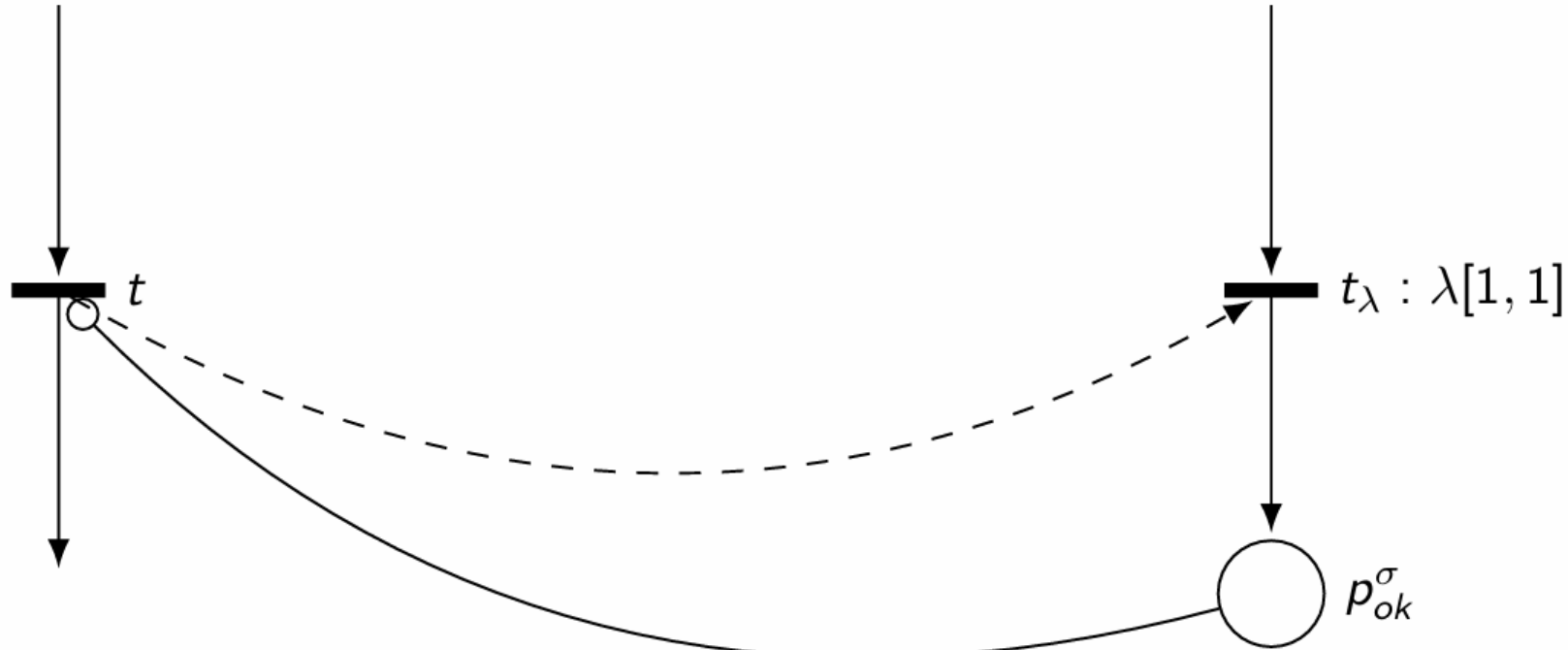
# Composition des observations et du système

- Pour connaître le diagnostic d'un motif  $\Omega$  sur le système  $\Theta$  ayant produit les observations  $\sigma$
- On va composer (synchroniser)  $\xi_\sigma$  avec  $\Theta \times \Omega \rightarrow \Pi_\sigma^{\Theta, \Omega}$
- Objectif de la composition  $\Pi_\sigma^{\Theta, \Omega}$

Extraire de  $\Theta \times \Omega$  les exécutions dont la séquence observable associée est  $\sigma$  avec la même durée

1. Désactivation de toutes transitions observables dans  $\Theta \times \Omega$  qui ne peut pas émettre un événement observable de  $\sigma$ , (ajout de places non admissible Na)
2. Synchroniser les transitions de  $\xi_\sigma$  avec les transitions observables de  $\Theta \times \Omega$  émettant les mêmes événements.
3. Ajout de priorités et arcs inhibiteurs dans la composition pour bloquer le temps sur la durée de  $\sigma$

# Comment bloquer le temps?



- Au temps 1 de sensibilisation de  $t_\lambda$ 
  - Seule  $t_\lambda$  peut être tirée (priorité)
  - plus aucun tir de transitions  $t$  dans le système n'est autorisé après  $t_\lambda$  (inhibition)

# Résumé de la construction de $\prod_{\sigma}^{\Theta, \Omega}$

1. On considère un système  $\Theta$  et un motif  $\Omega$  et la séquence observée  $\sigma$
2. Calcul du produit asymétrique  $\Theta \times \Omega$
3. Calcul de  $\prod_{\sigma}^{\Theta, \Omega}$  par fusion de transition avec  $\xi_{\sigma}$  (idem produit jumelé)

Propriété de  $\prod_{\sigma}^{\Theta, \Omega}$  : toute exécution de  $\Theta$  produisant  $\sigma$  et de même durée que  $\sigma$  est associée à une exécution de  $\prod_{\sigma}^{\Theta, \Omega}$  atteignant le marquage

$$M(p_{\sigma}^{ok}) = 1 \quad (\text{et réciproquement})$$

# Vérifier la cohérence avec les observations

- Une exécution du système  $\Theta$  est cohérente avec les observations ssi il existe une exécution de  $\Pi_{\sigma}^{\Theta, \Omega}$  telle que
  1. Elle est admissible
  2. Elle atteint un marquage tel que  $M(p_{\sigma}^{ok}) = 1$

$$\text{Consistent}(\Pi_{\sigma}^{\Theta, \Omega}) \equiv \text{Adm}(\Pi_{\sigma}^{\Theta, \Omega}) \wedge \text{Markings}(\Omega, \{p_{\sigma}^{ok}\})$$

# Questions de diagnostic

- Question 1: le motif a-t-il eu lieu dans toutes les exécutions possibles du système cohérentes avec les observations ?

$$\text{Faulty}(\Theta, \Omega, \sigma) \equiv$$

$$\square(\text{Consistent}(\Pi_{\sigma}^{\Theta, \Omega}) \Rightarrow \text{Match}(\Pi_{\sigma}^{\Theta, \Omega}))$$

- Question 2: le motif n'a-t-il jamais eu lieu dans toutes les exécutions possibles du système cohérentes avec les observations ?

$$\text{Safe}(\Theta, \Omega, \sigma) \equiv$$

$$\square(\text{Consistent}(\Pi_{\sigma}^{\Theta, \Omega}) \Rightarrow \text{NoMatch}(\Pi_{\sigma}^{\Theta, \Omega}))$$

# Résumé de la méthode de diagnostic

- Problème 1, vérifier:

$$\Pi_{\sigma}^{\Theta, \Omega} \models \text{Faulty}(\Theta, \Omega, \sigma)$$

- Si vrai, le motif a certainement eu lieu. FIN.
- Si faux, résoudre le problème 2
- Problème 2, vérifier:

$$\Pi_{\sigma}^{\Theta, \Omega} \models \text{Safe}(\Theta, \Omega, \sigma)$$

- Si vrai, le motif n'a certainement pas eu lieu. FIN
- Si faux, le motif a pu avoir lieu. FIN

# Quelques résultats

	pl $\Pi_{\sigma}^{\Theta, \Omega}$	tr $\Pi_{\sigma}^{\Theta, \Omega}$	arcs $\Pi_{\sigma}^{\Theta, \Omega}$	prio $\Pi_{\sigma}^{\Theta, \Omega}$	st SSG	tr SSG	Faulty	Safe	time
$\Omega_1^b(1)$	44	56	217	57	273	456	T	F	45ms
$\Omega_1^b(2)$	45	57	222	60	269	451	F	F	49ms
$\Omega_2(2)$	47	62	243	69	273	456	T	F	47ms
$\Omega_3(3)$	48	63	248	72	270	452	F	T	49ms

Logiciel Diades en collaboration avec le model-checker TINA

<https://gitlab.laas.fr/ypencole/diades>

# Conclusions

# Conclusions

- Diagnostic temporel
  - Etude de l'impact du temps et de son observation pour une meilleure discrimination
- Présentation de deux types de méthodes:
  - Méthode à base de connaissance: Signature Temporelle Causale
  - Méthode à base de modèles: Approche par Model-Checking [SCG]
- D'autres travaux existent:
  - Souvent basé sur des abstractions du temps:
    - approche MSCG [Basile et al.] basé sur une modification du SCG pour mieux caractériser les exécutions en cohérence avec les observations
    - Graphe de fautes temporels
    - Abstraction en temps séquentiel de certains types d'automates temporels

# Références bibliographiques

# Références bibliographiques

## Méthodes à base de modèles

### Automates temporels:

- Tripakis (2002). *Fault Diagnosis for Timed Automata*. Formal Techniques in Real-Time and Fault-Tolerant Systems.
- Bouyer, Chevalier, D'Souza (2005). *Fault diagnosis using timed automata* ». In : International Conference on Foundations of Software Science and Computation Structures.
- Lefebvre, Li et Liang (2023). *Diagnosis of timed patterns for discrete event systems by means of state isolation*. Automatica
- Miao,Lai,Komenda,Lahaye (2025). *Decentralized Fault Diagnosis for Constant-Time Automata*. IEEE Control Systems Letters

### Réseaux de Petri Temporels:

- Ghazel, Toguyéni, Yim (2009). *State observer for DES under partial observation with time Petri nets*. In : Discrete Event Dynamic Systems.
- Liu, Ghazel, Toguyéni (2014). *Diagnosis of labeled time Petri nets using time interval splitting*. In : IFAC Proceedings Volumes.
- Wang, Mahulea, Silva (2015). *Diagnosis of Time Petri Nets Using Fault Diagnosis Graph*. IEEE Transactions on Automatic Control.
- Basile, Cabasino, Seatzu (2015). *State Estimation and Fault Diagnosis of Labeled Time Petri Net Systems With Unobservable Transitions*. IEEE Transactions on Automatic Control.
- Basile, Cabasino, Seatzu (2017). *Diagnosability Analysis of Labeled Time Petri Net Systems*. In : IEEE Transactions on Automatic Control
- Lubat, Dal Zilio, Le Botlan, Pencolé, Subias (2020). *A New Product Construction for the Diagnosability of Patterns in Time Petri Net*. 59th IEEE Conference on Decision and Control.
- Pencolé, Subias (2021). *Diagnosability of event patterns in safe labeled time Petri nets : A model-checking approach* ». IEEE Transactions on Automation Science and Engineering.
- Coquand, Subias et Pencolé (2022). *Observable Simple Temporal Network synthesis for the diagnosis of time patterns in time Petri nets* ». 11th IFAC Symposium on Fault Detection, Supervision and Safety for Technical Processes.

### Approches algébriques (max,+)

- Le Corronc, Pencolé, Sahuguède, Paya (2021). *Failure detection and localization for timed event graphs in (max,+)-algebra*. Discrete Event Dynamic Systems.
- Velasquez, Pencolé, Le Corronc (2024). *Analysis and control of timed event graphs in (max,+) algebra for the active localization of time failures*. Discrete Event Dynamic Systems

# Remerciements et crédits

# Équipe pédagogique

**Auteur.rice.s** : Ramla Saddem, Yannick Pencolé

**Intervenant.e.s** : Ramla Saddem, Yannick Pencolé

# Crédits

- Cette œuvre est mise à disposition selon les termes de la **Licence Creative Commons Attribution 4.0 International**.
- Pour voir une copie de cette licence, visitez <https://creativecommons.org/licenses/by/4.0/deed.fr>.